

Vysoká škola strojní a textilní v Liberci

Fakulta strojní

## ROZBOR NAPIATOSTI

A NÁVRH KONTROLNÍHO VÝPOČTU

TEHNICKÉNÝCH KAOUCÍKOVÝCH PRUTŮ

Kandidátský akademický práce

1992

Ing. Jitka JÄGROVÁ

Vysoká škola strojní a textilní v Liberci

Fakulta strojní

Katedra mechaniky, pružnosti a pevnosti

Ing. Jitka Jágrová

Rozbor napjatosti a návrh jednoduchého kontrolního  
výpočtu tenkostěnných kroucených prutů otevřeného průřezu

Kandidátská disertační práce

VYSOKÁ ŠKOLA STROJNÍ A TEXTILNÍ  
Univerzitní knihovna  
Voroněžská 1329, Liberec 1

UNIVERZITNÍ KNIHOVNA  
TECHNICKÉ UNIVERZITY V LIBERCI



3146088178

V2733

Liberec

prosinec 1992

## OBSAH

SEZNAM POUŽITÝCH OZNACENÍ	4
1. ÚVOD	7
2. CÍL PRÁCE	9
3. STRUCNÝ PŘEHLED STAVU ZKOUMANÉ PROBLEMATIKY	10
4. NAVRH VÝPOCTU NAPJATOSTI	32
4.1 Definice součinitele napjatosti	32
4.2 Výpočet podle deplanační teorie	35
4.3 Srovnání řešení teorií deplanace, MKP a řešení doporučeného ČSN 73 1401	43
4.4 Výpočet podle teorie zkusu	46
4.5 Srovnání řešení teorií zkusu, MKP a řešení doporučeného ČSN 73 1401	51
4.6 Výpočet podle smíšené teorie	53
4.7 Nástin kontrolního výpočtu	64
5. PRŮREZOVÉ VELICINY	68
5.1 Grafické zpracování průřezových veličin	68
5.2 Nahrazení výpočtu $\omega$ a $I_{\omega}$ jednoduším způsobem	73
5.3 Vliv různých tloušťek v průřezu	77
5.4 Závislost $\gamma$ a $I_{\gamma}$ na způsobu přenosu normálného napětí	78

6. POUZITI MKP NA ROZBOR NAPJATOSTI	80
6.1 Vliv zpevnění	81
6.2 Vliv tuhosti větknutí	82
7. APLIKACE VÝPOCTU NA KONSTRUKCENÍ PRVKY RAMU PODVOZKU LIAZ 124.040	87
8. ZÁVER	94
POUZITA LITERATURA	98

*Práce je určena pro studenty vyučovacího programu konstrukce a vývoje strojů a zařízení na fakultě strojního inženýrství ČVUT v Praze. Práce je rozdělena do čtyř hlavních částí. První část je zaměřena na výpočetní metody pro řešení vlastností konstrukčních prvků. Druhá část je zaměřena na výpočetní metody pro řešení vlastností konstrukčních prvků. Třetí část je zaměřena na výpočetní metody pro řešení vlastností konstrukčních prvků. Čtvrtá část je zaměřena na výpočetní metody pro řešení vlastností konstrukčních prvků.*

### Seznam použitých označení

$x, y, z(z')$	- souřadné osy, souřadnice
K	- střed krutu
C	- střed smyku
$a_1 + a_7$	- koeficienty diferenciální rovnice
$A_1 + A_6$	- konstanty řešení dif. rovnice
b	- šířka průřezu
$b_0$	- šířka části příruby
$C_0, C_0(\ell)$	- opravný součinitel
$c_0 + c_6$	- průřezové konstanty grafického zpracování
$C_1, C_2$	- konstanty řešení diferenciální rovnice
$D_1, D_2$	- konstanty řešení diferenciální rovnice
$d, d_i$	- charakteristický rozměr průřezu
E	- modul pružnosti v tahu
e	- souřadnice středu krutu
G	- modul pružnosti ve smyku
h	- výška průřezu
$I_k$	- moment tuhosti v krutu
$I_\omega$	- moment tuhosti vůči deplanaci
$I_\rho$	- kvadratický moment průvodiče
$I_\gamma$	- kvadratický moment poměrné plochy průvodiče
$I_{pz}$	- kvadratický moment plochy příruby k ose $z(z')$
$I_{sy}$	- kvadratický moment plochy stojiny k ose y
K	- součinitel napjatosti
$K_A$	- součinitel napjatosti v exponovaném místě A
$K(x, s)$	- součinitel napjatosti v obecném místě prutu

$\ell, \bar{\ell}, \ell_0$	- délka prutu
$\ell_k, \ell_s (\ell_3)$	- charakteristická délka
$\ell_1$	- délka setrvání špičky napětí
$\ell^*$	- délka zpevnění
$M_k, M_k(x)$	- celkový kroutící moment
$M_1(x)$	- kroutící moment vyvolávající $\tau_1$
$M_\omega(x), M_\gamma(x)$	- kroutící moment vyvolávající $\tau_2$
$m_k$	- rovnoměrně rozdělený kroutící moment
$M_0$	- ohybový moment
$n$	- pomocná veličina
$n_0$	- délka prvku
$P(x)$	- partikulární řešení diferenciální rovnice
$p$	- odchylka $K_A$
$q(x, s)$	- smykový tok
$s$	- délka střednice
$S$	- plocha průřezu
$S_\omega(s)$	- statický moment polární plochy
$S_\gamma(s)$	- plocha průvodiče
$S_0$	- plocha „výztuh“
$S_{pz}$	- statický moment příruby k ose z
$S_{sy}$	- statický moment stojiny k ose y
$t, t_1, t', t_0$	- tloušťka průřezu
$T$	- posouvající síla
$U$	- energie napjatosti
$u_x, u_y, u_z$	- posuvy ve směru x, y, z
$u(x, s)$	- deplanace
$w(x)$	- průhyb příruby ve směru y

$w$	- posuv ve směru tečny ke střednici
$\alpha^2$	- poměrná tuhost
$\alpha_0$	- konstanta průřezu
$\beta^2$	- poměrná tuhost
$\beta_0$	- konstanta průřezu
$\gamma_{xs}$	- zkos
$\gamma, \gamma(s)$	- poměrná plocha průvodiče
$\delta$	- parametr diferenciální rovnice
$\varepsilon_x$	- poměrné prodloužení
$\zeta$	- parametr diferenciální rovnice
$\eta$	- poměrný rozměr průřezu
$\partial(x)$	- poměrný zkrut
$x$	- opravný součinitel
$\lambda^2$	- poměrná tuhost
$\xi$	- poměrný rozměr průřezu
$\rho$	- průvodič
$\sigma_\omega, \sigma_\omega(x, s)$	- normálné napětí podle deplanační teorie
$\sigma_\gamma, \sigma_\gamma(x, s)$	- normálné napětí podle teorie smyku
$\sigma_{redA}$	- redukované napětí
$\sigma_{red, 0}$	- redukované napětí při volném krutu
$\tau_0$	- smykové napětí při volném krutu
$\tau_1(x)$	- prvotní smykové napětí
$\tau_{2\omega}(x), \tau_{2\gamma}(x)$	- druhotné smykové napětí
$\tau(x, s)$	- celkové smykové napětí
$\varphi(x)$	- úhel pootočení
$\Phi$	- funkcionál napětí
$\omega, \omega_A, \omega(s)$	- hlavní polární plocha
$\omega_1$	- polární plocha ze středu K

## 1. Úvod

Současná doba klade značné nároky na strojírenský výrobek z hlediska funkčního, ekonomického, ekologického, příp. estetického. Zatímco dokonalá funkčnost výrobku se samozřejmě předpokládá, je ekonomika tím nikdy nevyčerpaným reservoárem možností, jak výrobek učinit konkurence schopným. K ekonomickému hledisku patří nejen, i když především, efektivnost výroby, ale i návrh konstrukce a konečně i ekonomika vlastní práce konstruktéra či výpočtáře.

A tak konstruktér vždy hledá optimum řešení protikladných požadavků co nejmenší hmotnosti a největší pevnosti a tuhosti konstrukce, nevhodnějšího funkčního tvaru výrobku a jeho co nejjednodušší výroby a řeší i problém navržení co nejpřesnějšího výpočtového modelu a jeho co nejjednoduššího zpracování.

Právě tento problém budeme sledovat na konstrukci vystavené stísněnému krutu. Výpočtový model ať podle teorie deplanační, či podle jen poněkud novější teorie smyku je dobře znám, dostatečně podrobně rozebrán a pravděpodobně i využíván na specializovaných pracovištích ( např. u náročných leteckých konstrukcí ). Avšak konstruktér, který se s tímto problémem nesetkává často a který je ze základního kursu na vysoké škole vybaven v podstatě základní informací o tom, že existuje, nemá zřejmě pro obsáhnutí celé problematiky dostatečný časový

prostor. Tuto situaci může řešit buď svým konstruktérským citem a zkušenostmi, pak se ale většinou získá možnosti navrhnut konstrukci co nejhospodárněji. Nebo pomocí nových výpočtových metod, především MKP, zpracuje komplexně napjatost v celém sledovaném objektu. Avšak i v dnešní době pestré nabídky uživatelských programů MKP půjde o časově náročnější práci, neboť zadání a vyhodnocení úlohy spotřebují určitý čas. Kromě toho tento způsob řešení, zřejmě nejvhodnější pro zhodnocení konečného návrhu, neumožní optimalizaci tvaru či rozměrů exponovaných míst konstrukce, anebo jen velmi těžkopádně opakováním celé úlohy. Konstruktér pro první návrh a optimalizaci potřebuje rychlý orientační výpočet, který by rovněž dokázal jednoduše sledovat vliv změny rozměrů, příp. tvaru. Takový výpočet je doporučen v [7], avšak z jednodušení řešení je na úkor předimenzování konstrukce. Hledisko dostatečné přesnosti výpočetního modelu a pracnosti jeho řešení stojí zde proti sobě dál a čeká na další pokus o řešení. Problém je aktuální především u prutů s průřezem otevřeným, kde stísněný krut vytváří výraznější špičky napětí než u prutů s tenkostěnným průřezem uzavřeným.

## 2. Cíl práce

Vzhledem k tomu, že problematika výpočtu tenkostěnných prutů namáhaných stísněným krutem je značně rozsáhlá a konstruktéři nemají většinou dostatečný časový prostor na to, aby se jí při výpočtu, kontrole či optimalizaci konstrukce mohli dostatečně věnovat, klade si tato práce za hlavní cíl podat jednoduchý návod pro stanovení namáhání nejvíce exponovaných míst kroucených prutů. Z těchto důvodů se snaží zjednodušit na co největší únosnou míru i výpočet potřebných průřezových veličin.

Dále si klade za cíl porovnat výsledky řešení podle jednotlivých teorií popisujících tento výpočtový model a stanovit hranice jejich platnosti pro dostatečně přesná řešení v závislosti na geometrických charakteristikách prutu.

Ačkoliv středem zájmu je především prověřit místo extrémního namáhání, t. j. průřez ve větknutí, je sledována komplexní napjatost po celé délce prutu, což slouží k lepší možnosti srovnání jednotlivých metod výpočtu. Mezi použité metody patří i MKP, která bude dále použita i k odhadu vlivu tuhosti větknutí a zpevnění okolí exponovaného místa na napjatost u daného výpočtového modelu.

### 3. Stručný přehled stavu zkoumané problematiky

Prvky konstrukcí, které je třeba navrhnut, provést jejich pevnostní výpočet a případně optimalisovat, lze v nejširším slova smyslu rozdělit podle jejich rozměrů ( a odpovídajících výpočtových schémat ) na čtyři skupiny :

- celistvá tělesa, jejichž rozměry jsou ve všech směrech třírozměrného prostoru stejného řádu;
- desky a skořepiny, jejichž dva rozměry jsou veličiny stejného řádu a tloušťka je vzhledem k nim velmi malá;
- pruty plného průřezu, jejichž všechny rozměry průřezu jsou srovnatelné a délka prutu je výrazně větší;
- tenkostenné pruty, kde délka prutu  $l$  je větší než charakteristické rozměry průřezu a tyto výrazně větší než tloušťka průřezu  $t$ . V literatuře ( např. [1], [5] ) se uvádí, že do této skupiny zařazujeme průřezy, pro než platí

$$\frac{d}{t} \geq (5 + 10) ,$$

kde  $d$  je charakteristický rozměr průřezu.

Rozdělení výpočtového modelu na pruty plného a tenkostenného průřezu vyplýnulo z toho, že při kroucení některých tenkostenných průřezů se tvoří normálná napětí v podélných vláknech prutu. Prut je vystaven složitější napjatosti, než je napjatost volného krutu. Přitom tato napjatost v některých částech prutu může být podstatně

nepříznivější než namáhání volným krutem a její doznívání po délce velmi pozvolné, a to především u prutů s otevřeným tenkostěnným průřezem, na něž se práce soustředí.

Všeobecně známé vztahy volného krutu pro zkrut  $\delta$ , pootočení  $\varphi$  a smykové napětí  $\tau_o$  jsou

$$\begin{aligned}\theta(x) &= \frac{M_k(x)}{GI_k}, \\ \varphi(x) &= \int_0^x \frac{M_k(x)}{GI_k} dx, \\ \tau_{oi} &= \frac{M_k t_i}{I_k},\end{aligned}\quad (3.1)$$

kde moment tuhosti v krutu  $I_k$  lze pro otevřené průřezy určit ze vzorce

$$I_k = \frac{1}{3} \sum_{i=1}^n t_i^3 d_i. \quad (3.2)$$

Vztahy (3.1) platí pro libovolně uložené a zatižené pruty plného průřezu a některé pruty tenkostěnné (např. skládá-li se průřez ze dvou různých částí). Smyková napětí  $\tau_o$  mají směr tečny ke střednici průřezu a jejich velikost se mění po tloušťce  $t$ ; na střednici jsou nulová a maximální jsou v krajním vlákně. Krutová tuhost odpovídající této napjatosti je malá.

U prutů tenkostěnných průřezů libovolného tvaru

( kromě dříve uvedených ) nastává volný krut jedině tehdy, jsou-li splněny následující podmínky : prut je prizmatický, vnitřní statický kroutící moment  $M_k(x) = \text{konst.}$  pro všechny průřezy a prut je uložen tak, že v žádném jeho místě není bráněno volné deformaci průřezu. Není-li toto splněno, vzniká t.zv. stísněný ( ohybový, nerovnoměrný ) krut.

První zmínka zpracování tohoto problému se objevuje u S.P. Timošenka [12]. Následují další autoři např. [13], [14]. Další podrobné, ucelenější a obecnější zpracování si vynutily především tenkostenné prvky leteckých konstrukcí, požadavky na jejich optimální řešení a spolehlivost.

Autorem obecné teorie pro otevřené tenkostenné průřezy, t.zv. deplanační, je V.Z. Vlasov [1]. Tato teorie byla doplněna A.A. Umanským [15] pro průřezy uzavřené. Teorie deplanace je vhodná především pro dlouhé pruty. Podle [1] by měly rozměry prutu splňovat podmíinku

$$\frac{\ell}{d} \geq 10$$

Podle deplanační teorie nastane stísněný krut tehdy, je-li v nějakém průřezu prutu bráněno jeho volnému zprohýbání - deplanaci. Přitom předpokládáme, že při kroucení prutu se průřez jednak zprohýbá, jednak pootočí kolem středu krutu K, avšak obrys jeho tvaru se v rovině průřezu nezmění.

Diferenciální rovnice, která popisuje stav stísněného krutu, má tvar

$$\theta''(x) - \alpha^2 \theta(x) = - \frac{\alpha^2}{GI_k} M_k(x) , \quad (3.3)$$

kde  $\alpha^2 = \frac{GI_k}{EI_\omega}$  značí poměrnou tuhost v kroucení. Je-li  $GI_k$  tuhost v krutu, je  $EI_\omega$  t.zv. tuhost vůči deplanaci, kde průřezová veličina

$$I_\omega = \int_S \omega^2 dS \quad (3.4)$$

se nazývá moment tuhosti vůči deplanaci a vztahuje se k hlavní polární ploše, t.j. polární ploše vytvořené z pólu P totožného se středem krutu K z počátku 0 položeného do místa průřezu, kde  $\omega = 0$ .

Odvození diferenciální rovnice vychází z předpokladu, že celkový kroutící moment  $M_k(x)$  se rozdělí na část  $M_1(x)$ , která se spotřebuje na jeho pootočení a část  $M_\omega(x)$ , spotřebovanou na jeho deplanaci, tedy

$$M_k(x) = M_1(x) + M_\omega(x) \quad (3.5)$$

Rešení diferenciální rovnice má tvar

$$\theta(x) = A_1 \cosh \alpha x + A_2 \sinh \alpha x + P(x) ,$$

kde partikulární řešení

$$P(x) = - \frac{1}{GI_k} \int_0^x m(\xi) [\cosh \alpha(x-\xi) - 1] d\xi .$$

Pro zatížení osamělým kroutícím momentem

$M_k(x) = M_k = \text{konst.}$ , má řešení tvar

$$\theta(x) = A_1 \cosh \alpha x + A_2 \sinh \alpha x + \frac{M_k}{GI_k} . \quad (3.6)$$

Konstanty  $A_1, A_2$  se určí z okrajových podmínek. V místě tuhého veknutí, či opření a v průřezu na ose symetrie platí, že deplanace  $u = 0$ . Protože předpokládáme vztah

$$u(x, s) = -\omega(s) \theta(x) , \quad (3.7)$$

kde  $s$  je délka střednice v libovolném místě průřezu, platí rovněž  $\theta = 0$ .

Na volném konci a v místě posuvného veknutí může řez volně deplanovat a proto zde nevznikají žádná normálná napětí ( $\sigma_\omega = 0$ ).

V každém průřezu, kde je bráněno volné deplanaci, vzniká normálné napětí  $\sigma_\omega(x, s)$ . Předpokládáme-li, že podélná vlákna prutu na sebe nepůsobí, pak

$$\sigma_\omega(x, s) = E \varepsilon_x = E \frac{\partial u(s, x)}{\partial x} = -E \omega(s) \theta'(x) . \quad (3.8)$$

Průběh  $\sigma_\omega(x, s)$  po délce prutu je dán funkcí  $\vartheta'(x)$ , po průřezu průběhem hlavní polární plochy  $\omega(s)$ , po tloušťce  $t$  je napětí konstantní.

Smykové napětí  $\tau_1(x)$  t.zv. prvotní je způsobeno kroutícím momentem  $M_1(x)$

$$\tau_1(x) = \frac{M_1(x) t}{I_k} = G\vartheta(x) t , \quad (3.9)$$

Jeho rozdělení po průřezu a tloušťce  $t$  je stejné jako u volného krutu, po délce je dáno průběhem funkce  $\vartheta(x)$ .

Proměnnost normálného napětí po délce prutu vyvolává t.zv. druhotné smykové napětí  $\tau_{2\omega}(x, s)$  a druhotný smykový tok

$$q(x, s) = - \int \frac{\partial \sigma_\omega}{\partial x} t ds = E\vartheta''(x) S_\omega(s) . \quad (3.10)$$

Z rovnice rovnováhy ke středu krutu  $K$  dostaneme

$$M_\omega = \int_0^{s_0} q(s) d\omega = \emptyset - \int_0^{s_0} \omega dq = - E\vartheta''(x) I_\omega . \quad (3.11)$$

Potom lze smykový tok a druhotné smykové napětí vyjádřit výrazy

$$q(x, s) = - \frac{M_\omega(x) S_\omega(s)}{I_\omega} ; \quad (3.12)$$

$$\tau_{2\omega}(x, s) = \frac{- M_\omega(x) S_\omega(s)}{I_\omega t} .$$

Druhotné smykové napětí  $\tau_{2\omega}(x,s)$  se mění po délce prutu s funkcí  $M_\omega(x)$ , po průřezu s průřezovou veličinou

$$S_\omega(s) = \int_0^s \omega dS ,$$

zvanou statický moment části polární plochy a po tloušťce  $t$  je konstantní. Veličina  $S_\omega(s)$  a tedy i  $\tau_{2\omega}(x,s)$  nabývá maximální hodnoty v těch místech průřezu, kde je hlavní polární plocha nulová.

Výsledné smykové napětí je

$$\tau(x,s) = \tau_1(x) + \tau_{2\omega}(x,s) . \quad (3.13)$$

Vlastnosti hlavní polární plochy  $\omega(s) = \int_0^s \rho_\theta ds$  jsou definovány rovnicemi rovnováhy pro vnitřní síly v průřezu

$$\int_{(S)} \sigma_\omega dS = \emptyset ,$$

$$\int_{(S)} \sigma_\omega y dS = \emptyset ,$$

$$\int_{(S)} \sigma_\omega z dS = \emptyset$$

pro souřadné osy  $y, z$  v rovině průřezu.

Stanovením průběhu a velikosti průřezových veličin  $\omega(s)$ ,  $S_\omega(s)$  a  $I_\omega$  pro různé tvary průřezů se podrobně zabývá práce [2].

Pootočení  $\varphi(x)$  určíme ze vztahu

$$\varphi(x) = \int \delta(x) dx + A_3 , \quad (3.14)$$

kde konstanta  $A_3$  je dána okrajovou podmínkou : v místě tuhého či posuvného veknutí je  $\varphi = 0$ . Tuhota prutu namáhaného stísněným krutem je vyšší než při krutu volném.

Zavedeme-li pomocnou funkci - t.zv. bimoment  $B_\omega(x)$  (moment druhého řádu v  $[Nm^2]$ )

$$B_\omega(x) = \int_{(S)} \sigma_\omega(x, s) \omega(s) dS = - EI_\omega \delta'(x) , \quad (3.15)$$

lze diferenciální rovnici stísněného krutu také formulovat ve tvaru

$$B_\omega''(x) - \alpha^2 B_\omega(x) = M_k'(x) . \quad (3.16)$$

Dále platí

$$B_\omega'(x) = M_\omega(x) , \quad (3.17)$$

$$\sigma_\omega(x, s) = \frac{B_\omega(x)}{I_\omega} \omega(s) . \quad (3.18)$$

Souřadný systém  $x, y, z$ , pro nějž všechny uvedené vztahy platí, má počátek ( $x = 0$ ) v průřezu, který je veknutý.

Zbývá ještě dodat, že pojmenování jednotlivých veličin, zejména průřezových, je v literatuře dosti různorodé. Zde bylo použito termínu podle [2].

Použití Vlasovovy teorie tenkostěnných konstrukcí pro výpočet znamená řešit diferenciální rovnici s příslušnou pravou stranou (podle charakteru zatěžujícího kroutícího momentu) a s příslušnými okrajovými podmínkami. Tato přílišná pracnost vedla ke snaze výpočet nějakým způsobem pro běžnou konstruktérskou praxi zjednodušit, např. z jednodušením diferenciální rovnice.

Je-li možné u prutu předpokládat, že tuhost v krutu  $GI_k$  je mnohem menší než tuhost vůči deplanaci  $EI_\omega$ , pak  $\alpha^2 \rightarrow 0$  a diferenciální rovnice přejde na jednoduchý tvar analogický diferenciální rovnici průhybové čáry ohýbaného nosníku

$$\partial''(x) = - \frac{M_k(x)}{EI_\omega} \quad . \quad (3.19)$$

Postupným řešením dostaneme

$$\begin{aligned} \partial'(x) &= - \int \frac{M_k(x)}{EI_\omega} dx + A_4 \quad , \\ \partial(x) &= - \int \frac{M_k(x)}{EI_\omega} dx + A_4 x + A_5 \quad , \\ \varphi(x) &= \int \partial(x) dx + A_6 \quad . \end{aligned} \quad (3.20)$$

Konstanty  $A_4, A_5, A_6$  určíme z okrajových podmínek. Funkce  $\vartheta(x)$ ,  $\vartheta'(x)$ ,  $\vartheta''(x)$  udávají podle vztahů (3.9), (3.8) a (3.12) průběhy funkcí napětí  $\tau_1(x)$ ,  $\sigma_\omega(x)$  a  $\tau_{2\omega}(x)$  po délce tyče. Řešení je uvedeno v ČSN 73 1401.

Ukázalo se, že toto řešení dává jen velmi hrubý (nadsazený) odhad namáhání. S chybou výpočtu do 5% je použitelné pouze pro pruty, pro něž platí  $\alpha \ell < 0,4$  při uložení veknutí - volný konec a  $\alpha \ell < 1,5$  při veknutí na obou koncích (viz. [8]).

Za základ upraveného přesnějšího řešení, uvedeného v komentáři k ČSN 73 1401 (viz [7]), byly vzaty práce [8] a [9] J. Melchera, které modifikují analogii kroucení tenkostěnných prutů s ohybem. Melcher zavádí opravný součinitel  $x$ , který respektuje závislost veličin vázáného kroucení na argumentu  $\alpha \ell$ . Vychází z hodnoty bimomentu, která se pro  $0 < \alpha \ell < \infty$  pohybuje v rozsahu  $B_{0\omega} > B_\omega > 0$ , kde  $B_{0\omega}$  je bimoment vyplývající ze zjednodušené analogie (obdoba ohybového momentu  $M(x)$ ). V místě největšího namáhání lze vyjádřit

$$B_\omega = M_k F(\alpha \ell) ,$$

kde

$$F(\alpha \ell) = F(0) (1 - x) ,$$

přičemž

$$x = \frac{F(GI_k \rightarrow \emptyset) - F(GI_k)}{F(GI_k \rightarrow \emptyset)} , \quad (3.21)$$

$$F(GI_k \rightarrow \emptyset) = \lim_{\alpha \rightarrow 0} F(GI_k) .$$

Pro jednotlivé způsoby namáhání a jednotlivá uložení je  $x$  zpracováno jednak graficky, jednak udáno příslušným vztahem ( viz [7], [9] ) .

Zatěžující veličiny stísněného krutu pak lze vyjádřit

$$B_\omega = B_{0\omega}(1 - x) ,$$

$$M_\omega = M_k(1 - x) , \quad (3.22)$$

$$M_1 = M_k x$$

a odpovídající napětí

$$\sigma_\omega = \frac{B_\omega(x) \omega(\emptyset)}{I_\omega} (1 - x)$$

$$\tau_{2\omega} = \frac{M_\omega(x) S_\omega(s)}{t I_\omega} (1 - x) \quad (3.23)$$

$$\tau_1 = \frac{M_1(x) t}{I_k} x$$

Pro malé hodnoty  $\alpha \ell$  se veličina  $x$  prudce mění, od určité velikosti  $\alpha \ell$  se prakticky stabilizuje, což

odpovídá stavu napjatosti v dostatečně dlouhém prutu, který je popsán deplanační teorií.

Na rozdíl od teorie deplanace, která vycházela ze změny velikosti zborcení průřezu a uvažovala nulová smyková napětí ve střední ploše ( tedy  $\gamma_{xs} = \emptyset$  ), předpokládá teorie zkusu, že průřez se nebortí. Příčné řezy zůstanou i po zatížení rovinnými a pouze se navzájem pootočí. Dále se předpokládá, že tvar příčného průřezu se nemění.

Ve vztahu pro zkos

$$\gamma_{xs} = \frac{\partial w}{\partial x} + \frac{\partial u}{\partial s} ,$$

kde  $w$  je přemístění bodu střednice v tečném směru a  $u$  přemístění ve směru podélné osy, pak platí  $\frac{\partial u}{\partial s} = \emptyset$  a tedy

$$\gamma_{xs} = \frac{\partial w}{\partial x} .$$

Pootočení průřezu se děje kolem t.zv. středu smyku C, pro nějž platí

$$\oint \gamma t \, ds = \emptyset ,$$

$$\oint \gamma zt \, ds = \emptyset ,$$

$$\oint \gamma yt \, ds = \emptyset ,$$

(3.24)

kde průřezová veličina  $\gamma(s)$  je definována

$$\gamma(s) = \gamma = \frac{1}{t} \frac{\partial(\rho t)}{\partial s} = \frac{1}{t} \frac{\partial(S_\gamma)}{\partial s} . \quad (3.25)$$

Je-li  $\rho$  průvodič daného místa střednice průřezu, t. j. kolmá vzdálenost středu smyku C od tečny k danému místu střednice a nazveme-li  $S_\gamma = \rho \cdot t$ , „plochou průvodiče“, pak  $\gamma(s)$  považujme za „poměrnou plochu průvodiče“.

Celkový kroutící moment  $M_k(x)$  se opět rozdělí na část  $M_\gamma(x)$ , která vyvolává normálné napětí  $\sigma_\gamma$  a smykové napětí  $\tau_{2\gamma}$  a část  $M_1(x)$ , která vyvolává prvotní smykové napětí  $\tau_1$ .

Zavedeme-li opět veličinu bimomentu

$$B_\gamma(x) = \int_l^x M_\gamma(x) dx = GI_\rho \int_l^x \theta'(x) dx , \quad (3.26)$$

neboť

$$M_\gamma(x) = GI_\rho \theta'(x) , \quad (3.27)$$

lze z Hookeova zákona určit napětí

$$\tau_{2\gamma} = \frac{M_\gamma(x)}{I_\rho} \rho = \frac{G\theta'(x) S_\gamma(s)}{t} = \frac{B'_\gamma(x) \rho}{I_\rho} \quad (3.28)$$

a z rovnováhy elementu  $ds$ ,  $dx$  posléze napětí

$$\sigma_{\gamma} = - \frac{1}{I_p} \int_1^x M_{\gamma}(x) \gamma(s) dx = - \frac{B_{\gamma}(x)}{I_p} \gamma(s) \quad . \quad (3.29)$$

Průřezová veličina  $I_p$  – kvadratický moment průvodiče

$$I_p = \int_{(S)} \rho^2 t \, ds \quad . \quad (3.30)$$

Diferenciální rovnice popisující daný jev z hlediska stísněného krutu byla určena pomocí energie vnitřních sil (viz [5]):

$$U = \int_0^l [ \oint \frac{\sigma_{\gamma}^2}{2E} t \, ds + \oint \frac{1}{2G} (\tau_{2\omega} + \tau_i)^2 t \, ds ] \, dx . \quad (3.31)$$

Vyjádření pomocí funkcionálu energie  $\phi$  je

$$U = \int_0^l \phi(x, B_{\gamma}, B'_{\gamma}) \, dx .$$

Po dosazení za jednotlivá napětí má funkcionál tvar

$$\phi = \oint \frac{B_{\gamma}^2}{2EI_p^2} \gamma^2 t \, ds + \oint \frac{1}{2G} \left( \frac{\rho}{I_p} B'_{\gamma} + \frac{(M_k - B'_{\gamma})}{I_k} t \right)^2 t \, ds \quad (3.32)$$

Výraz lze ještě zpřesnit uvažováním proměnnosti napětí  $\tau_i$  po tloušťce stěny  $t$ :

$$\begin{aligned}\phi = & \oint \frac{B_\gamma^2}{2EI_\rho^2} \gamma^2 t \, ds + \oint_0^l \frac{1}{2G} \left( \frac{\rho}{I_\rho} B'_\gamma + \right. \\ & \left. + \frac{(M_k - B'_\gamma)}{I_k t} t' \right)^2 dt' \, ds\end{aligned}$$

Minimum funkcionálu nalezneme pomocí Eulerovy rovnice

$$\frac{\partial \phi}{\partial B'_\gamma} - \frac{d}{dx} \left( \frac{\partial \phi}{\partial B'_\gamma} \right) = 0 \quad . \quad (3.33)$$

Diferenciální rovnice má tvar

$$\begin{aligned}B''_\gamma \left( \frac{1}{I_\rho} + \frac{1}{I_k} - \frac{\oint S_\gamma t \, ds}{I_\rho I_k} \right) \frac{1}{G} - B_\gamma \frac{I_\gamma}{EI_\rho^2} = \\ = m_k \left( \frac{\oint S_\gamma t \, ds}{2GI_\rho I_k} - \frac{1}{GI_k} \right)\end{aligned} \quad (3.34)$$

Ve výrazu je ještě třeba definovat kvadratický moment poměrné plochy průvodiče

$$I_\gamma = \oint \gamma^2 t \, ds \quad . \quad (3.35)$$

Teorie zkosu vystihuje dobře skutečnost pro krátké pruty.

Pro pruty velmi krátké je ji možno zjednodušit tak, že budeme uvažovat pouze energii napjatosti od snyku  $\gamma_{xs}$ , jak je uvedeno v práci [4] příp. [3]

$$U = \int_0^L \frac{1}{2} \oint G \gamma_{xs}^2 t \, ds \, dx \quad . \quad (3.36)$$

Vzhledem k tomu, že jsou zanedbána prvotní smyková napětí, celý kroutící moment se spotřebuje na smyk a tedy platí

$$M_\gamma(x) = M_k(x) \quad , \quad (3.37)$$

$$B_\gamma(x) = \int_1^x M_k(s) \, ds + B_\gamma(0) \quad ,$$

a napětí jsou

$$\tau_{2\gamma} = \frac{M_k(x)}{I_p} \rho \quad , \quad (3.38)$$

$$\sigma_\gamma = - \frac{B_\gamma(x)}{I_p} \gamma(s) \quad .$$

Zatímco teorie zkusu dostatečně přesně popisuje stav v krátkém prutu a teorie deplanace v prutu značné délky, existuje mezi nimi oblast, která byla popsána zpřesněnou, t.zv. smíšenou teorií, jež je kombinací obou předchozích (např. [3], [5]). Základem je opět energetická metoda. Ve výpočtu energie je uvažována napjatost teorie deplanace, teorie zkusu i prvotní smyková napětí. Poměr vlivu napjatosti odpovídající teorii zkusu a teorii deplanace se mění po délce prutu.

Pro kroutící momenty a bimomenty platí následující rovnice

$$M_k(x) = M_\omega(x) + M_\gamma(x) + M_1(x) \quad , \quad (3.39)$$

$$B(x) = B_\omega(x) + B_\gamma(x) \quad . \quad (3.40)$$

Dále platí

$$B'_\omega(x) = M_\omega(x) \quad , \quad (3.41)$$

$$B'_\gamma(x) = M_\gamma(x) \quad ,$$

z čehož vyplývá

$$M_k(x) = M_1(x) + B'(x) = M_1(x) + B'_\omega(x) + B'_\gamma(x) \quad (3.42)$$

Napětí v průřezu jsou definována následovně

$$\sigma = \frac{B_\omega(x)}{I_\omega} \omega(s) - \frac{B_\gamma(x)}{I_\rho} \gamma(s) \quad , \quad (3.43)$$

$$\tau = \tau_1 + \tau_2 = \frac{M_1(x)}{I_k} t - \frac{M_\omega(x) S_\omega(s)}{I_\omega t} + \frac{M_\gamma(x) S_\gamma(s)}{I_\rho t}$$

Základní řešení je opět energetická metoda, takže celková energie jest

$$U = \int \phi(x, B, B_{\omega}, B'_{\omega}, B_{\gamma}, B'_{\gamma}) dx , \quad (3.44)$$

kde

$$\phi = \oint \frac{\sigma^2}{2E} t ds + \oint \frac{\tau^2}{2G} t ds = \phi_1 + \phi_2 . \quad (3.45)$$

Dosazením za napětí  $\sigma$  a  $\tau$  ze vztahů (3.43) a (3.41) dostaneme

$$\phi_1 = \oint \frac{1}{2E} \left[ \frac{B_{\omega}}{I_{\omega}} \omega - \frac{B_{\gamma}}{I_{\rho}} \gamma \right]^2 t ds ,$$

$$\begin{aligned} \phi_2 = \int_0^t & \oint \frac{1}{2G} \left[ -B'_{\omega} \left( \frac{t'}{I_k} + \frac{S_{\omega}}{I_{\omega} t} \right) + B'_{\gamma} \left( \frac{S_{\gamma}}{t I_{\rho}} - \frac{t'}{I_k} \right) + \right. \\ & \left. + M_k \frac{t'}{I_k} \right]^2 ds dt . \end{aligned}$$

Použijeme-li Eulerovu rovnici postupně pro  $B_{\omega}$ ,  $B_{\gamma}$

$$\frac{\partial \phi}{\partial B_{\omega}} - \frac{d}{dx} \left( \frac{\partial \phi}{\partial B'_{\omega}} \right) = 0 , \quad (3.46)$$

$$\frac{\partial \phi}{\partial B_{\gamma}} - \frac{d}{dx} \left( \frac{\partial \phi}{\partial B'_{\gamma}} \right) = 0 ,$$

dostaneme soustavu diferenciálních rovnic

$$-B''_{\omega} a_1 + B_{\omega} a_2 + B''_{\gamma} a_3 + B_{\gamma} a_2 = m_k a_4 \quad (3.47)$$

$$B_{\omega}'' a_3 + B_{\omega} a_2 - B_{\gamma}'' a_5 + B_{\gamma} a_6 = m_k a_7 \quad . \quad (3.48)$$

Koefficienty v těchto rovnicích, dané příslušnými průřezovými veličinami, jsou následující

$$a_1 = \frac{1}{G} \left[ \frac{1}{I_k} + \frac{\int s_{\omega} t \, ds}{I_{\omega} I_k} + \frac{\int s_{\omega}^2 \, ds / t}{I_{\omega}^2} \right] \quad ,$$

$$a_2 = \frac{1}{EI_{\omega}} \quad ,$$

$$a_3 = \frac{1}{G} \left[ \frac{\int s_{\gamma} t \, ds}{2I_{\rho} I_k} - \frac{\int s_{\omega} t \, ds}{2I_{\omega} I_k} - \frac{1}{I_k} - \frac{1}{I_{\rho}} \right] \quad ,$$

$$a_4 = - \frac{1}{G} \left[ \frac{1}{I_k} + \frac{\int s_{\omega} t \, ds}{2I_{\omega} I_k} \right] \quad , \quad (3.49)$$

$$a_5 = \frac{1}{G} \left[ \frac{1}{I_{\rho}} - \frac{\int s_{\gamma} t \, ds}{I_{\rho} I_k} + \frac{1}{I_k} \right] \quad ,$$

$$a_6 = \frac{I_{\gamma}}{EI_{\rho}^2} \quad ,$$

$$a_7 = \frac{1}{G} \left[ \frac{\int s_{\gamma} t \, ds}{2I_{\rho} I_k} - \frac{1}{I_k} \right] \quad .$$

Je-li prut zatížen osamělými krouticími momenty, jsou rovnice (3.47), (3.48) homogenní ( $m_k = 0$ ). Rovnice (3.47), (3.48) lze řešit jako soustavu s předpokládaným řešením dle [5] ve tvaru

$$B_{\omega} = D_1 e^{\lambda x} \quad ; \quad B_{\gamma} = D_2 e^{\lambda x} \quad .$$

Nebo lze získat jedinou diferenciální rovnici vyjádřením např.  $B_{\gamma}''$  z rovnice (3.48) a  $B_{\gamma}$  ze vztahu (3.40) a dosazením do rovnice (3.47). V práci [3] při zjednodušení výrazu pro energii napjatosti zanedbáním energie od  $\tau_1$  tak byla získána diferenciální rovnice

$$B_{\omega}''(x) - \lambda^2 B_{\omega}(x) = -\lambda^2 B(x) \quad , \quad (3.50)$$

kde

$$\lambda^2 = \frac{G \left[ \frac{I_{\gamma}}{I_{\rho}^2} - \frac{1}{I_{\omega}} \right]}{E \left[ \frac{1}{I_{\omega}^2} \int S_{\omega}^2 \frac{ds}{t} - \frac{1}{I_{\rho}} \right]} \quad (3.51)$$

Rešení má tvar

$$B_{\omega} = C_1 \sinh \lambda x + C_2 \cosh \lambda x - \lambda \int_0^x B(\xi) \sinh \lambda (x - \xi) d\xi \quad . \quad (3.52)$$

Budou-li se naopak eliminovat veličiny  $B_{\omega}''$ ,  $B_{\omega}$  dostaneme

$$B_{\gamma}''(x) - \lambda^2 B_{\gamma}(x) = B''(x) = m_k \quad (3.53)$$

a příslušné řešení

$$B_\gamma = D_1 \sinh \lambda x + D_2 \cosh \lambda x + \frac{1}{\lambda} \int_0^x m_k(\xi) \sinh \lambda(x - \xi) d\xi . \quad (3.54)$$

Pro řešení postačí vybrat jednu z diferenciálních rovnic (3.50), (3.53). Zbývající neznámou určíme ze vztahu (3.40).

Okrajové podmínky lze pro pevné uložení pro danou variační úlohu formulovat

$$\left[ \frac{\partial \phi}{\partial B_\omega} \right]_{x=0} = \emptyset \quad ; \quad \left[ \frac{\partial \phi}{\partial B_\gamma} \right]_{x=0} = \emptyset$$

Na volném konci je  $B = \emptyset$  a tedy  $B_\omega = -B_\gamma$  podle (3.40), avšak z podmínek rovnováhy každé napjatosti plyně  $B_\omega = B_\gamma = \emptyset$ .

Soustava rovnic (3.47), (3.48) poskytuje prakticky obecné řešení pro problém stísněného krutu. Řešení podle teorie deplanace a teorie zkusu z ní dostaneme jako zvláštní případy. V tomto obecném řešení jsou do celkové energie napjatosti zahrnutý složky energie od všech působících napětí. Zanedbáme-li některé z nich (vzhledem k malým hodnotám napětí) výrazy pro součinitele  $a_i$  podle (3.49) a rovněž i diferenciální rovnice se zjednoduší.

Diferenciální rovnici (3.16) odpovídající deplanační teorii bychom získali z rovnice (3.47) vynecháním veličin  $B_\gamma$ ,  $B_\gamma''$ , při čemž ve výrazu pro energii napjatosti je zanedbána složka odpovídající  $\tau_{20}$ . Diferenciální rovnici

$$B_\gamma = D_1 \sinh \lambda x + D_2 \cosh \lambda x + \frac{1}{\lambda} \int_0^x m_k(\xi) \sinh \lambda(x - \xi) d\xi .$$

(3.54)

Pro řešení postačí vybrat jednu z diferenciálních rovnic (3.50), (3.53). Zbývající neznámou určíme ze vztahu (3.40).

Okrajové podmínky lze pro pevné uložení pro danou variační úlohu formulovat

$$\left[ \frac{\partial \phi}{\partial B_\omega} \right]_{x=0} = \emptyset \quad ; \quad \left[ \frac{\partial \phi}{\partial B_\gamma} \right]_{x=0} = \emptyset$$

Na volném konci je  $B = \emptyset$  a tedy  $B_\omega = -B_\gamma$  podle (3.40), avšak z podmínek rovnováhy každé napjatosti plyně  $B_\omega = B_\gamma = \emptyset$ .

Soustava rovnic (3.47), (3.48) poskytuje prakticky obecné řešení pro problém stísněného krutu. Řešení podle teorie deplanace a teorie zkusu z ní dostaneme jako zvláštní případy. V tomto obecném řešení jsou do celkové energie napjatosti zahrnutý složky energie od všech působících napětí. Zanedbáme-li některé z nich (vzhledem k malým hodnotám napětí) výrazy pro součinitele  $a_i$  podle (3.49) a rovněž i diferenciální rovnice se zjednoduší.

Diferenciální rovnici (3.16) odpovídající deplanační teorii bychom získali z rovnice (3.47) vynecháním veličin  $B_\gamma$ ,  $B_\gamma''$ , při čemž ve výrazu pro energii napjatosti je zanedbána složka odpovídající  $\tau_{z\omega}$ . Diferenciální rovnici

(3.34) pro teorii zkusu dostaneme z rovnice (3.48) vynecháním  $B_\omega$ ,  $B_\omega''$ . Zjednodušenou teorii zkusu získáme zanedbáním energie napjatosti od normálného a prvotního smykového napětí.

Na obrázku 11 je znázorněna výsledná teorie zkusu. Výsledná teorie zkusu je výsledkem výpočtu, který byl proveden dle metodiky, kterou bylo uvedeno v předešlém podrobněji v předešlém prvním článku, když byly pořízeny vzdálenosti a pozice vzdáleností jednotlivých bodů, případně  $x_1$ ,  $x_2$  a výhodnosti napjatosti, když byly všechny pět.

Obrázek 11 je výsledkem první napjatosti, tedy výsledkem prvního výpočtu, když byly použity pouze vzdálenosti a pozice vzdáleností jednotlivých bodů, případně  $x_1$ ,  $x_2$  a výhodnosti napjatosti, když byly všechny pět. Výsledkem je výsledná teorie zkusu, která je výsledkem výpočtu, který byl proveden dle metodiky, kterou bylo uvedeno v předešlém prvním článku, když byly pořízeny vzdálenosti a pozice vzdáleností jednotlivých bodů, případně  $x_1$ ,  $x_2$  a výhodnosti napjatosti, když byly všechny pět. Výsledkem je výsledná teorie zkusu, která je výsledkem výpočtu, který byl proveden dle metodiky, kterou bylo uvedeno v předešlém prvním článku, když byly pořízeny vzdálenosti a pozice vzdáleností jednotlivých bodů, případně  $x_1$ ,  $x_2$  a výhodnosti napjatosti, když byly všechny pět. Výsledkem je výsledná teorie zkusu, která je výsledkem výpočtu, který byl proveden dle metodiky, kterou bylo uvedeno v předešlém prvním článku, když byly pořízeny vzdálenosti a pozice vzdáleností jednotlivých bodů, případně  $x_1$ ,  $x_2$  a výhodnosti napjatosti, když byly všechny pět.

Výsledkem výjednodušené výpočtu teorie zkusu je

## 4. Návrh výpočtu napjatosti v prutech tenkostěnného otevřeného průřezu

### 4.1 Definice součinitele napjatosti

Jak již bylo řečeno v úvodu, je cílem následujícího návrhu poskytnout konstruktérovi návod k jednoduchému výpočtovému zpracování namáhání prutů vystavených stísněnému krutu. Napjatost vznikající v prutu při tomto způsobu namáhání znamená při klasickém řešení vyřešit diferenciální rovnici s příslušnými okrajovými podmínkami a s příslušnou pravou stranou, určit potřebné průřezové veličiny a posléze spočítat jednotlivá napětí  $\sigma$ , případně  $r_1$ ,  $r_2$  a vyhodnotit napjatost pro sledované místo prutu.

Budeme-li se věnovat pouze napjatosti, lze veškeré okrajové podmínky zahrnout do jedné podmínky pro volný konec, případně posuvné vetknutí ( $B = \emptyset$ ) a jedné podmínky pro tuhé vetknutí, případně opření či průřez v ose symetrie. I pro různé kombinace těchto uložení lze však z prutu vyjmout takovou část, jejíž jeden koncový průřez se chová jako tuho vetknutý ( $x = \emptyset$ ) a druhý koncový průřez jako volný za předpokladu zatížení prutu osamělými kroutícími momenty (viz obr. 1, kde průřezy v místech B se chovají jako volný konec). V dalším je v podstatě možno se zabývat pouze tímto jedním druhem uložení.

Podstatou zjednodušení výpočtu namáhání prutu je

srovnání skutečné napjatosti s napjatostí odpovídající volnému krutu.

Pro libovolný průřez prutu a jeho libovolné místo je zaveden součinitel napjatosti

$$K(x,s) = \frac{\sigma_{\text{red}}(x,s)}{\sigma_{\text{red},0}} = \frac{\sqrt{\sigma^2(x,s) + 3[\tau_1(x) + \tau_2(x,s)]^2}}{\sqrt{3\tau_0^2}}, \quad (4.1)$$

kde  $\sigma(x,s)$ ,  $\tau_1(x)$  a  $\tau_2(x,s)$  jsou napětí v daném místě od stísněného krutu a

$$\tau_0 = \frac{M_k t}{I_k} \quad \text{(4.2)}$$

je smykové napětí od volného krutu konstantní po délce prutu a také v krajních vláknech jednotlivých částí průřezu o konstantních tloušťkách.

Součinitel v sobě zahrnuje zhodnocení napjatosti pomocí příslušné pevnostní podmínky. V této práci byla použita podmínka H-M-H, vhodná pro houževnaté oceli nižší a střední pevnosti, z níž jsou většinou z plechů ohýbané a válcované profily vyrobeny. Pro jiné chování materiálu prutu je možno vztah (4.1) jednoduše upravit podle příslušné vhodné podmínky.

Nejnepříznivější napjatost se vytvoří v místě větknutí v přírubě průřezu a charakterizuje ji součinitel napjatosti daného místa

$$K = K_A = \frac{\sigma_{\text{redA}}}{\sqrt{3} \tau_0} \quad (4.3)$$

Součinitel  $K_A$  je možno určit z dále uvedených vztahů, případně pro některé běžné profily odečíst z přiložených grafů. Zbývá vypočítat podle jednoduchého vztahu (4.2) napětí  $\tau_0$  a je podchycena špička namáhání

$$\sigma_{\text{redA}} = K_A \sqrt{3} \tau_0$$

Vztahy pro součinitel  $K_A$  se podle jednotlivých výpočtových teorií uvedených v kapitole 3 liší. Do které kategorie výpočet konkrétního prutu zařadíme, závisí na geometrických charakteristikách prutu, především na poměru jeho délky a ostatních rozměrů průřezu. Tento poměr je v literatuře většinou uváděn jako rozhodující absolutní faktor, avšak toto je často zavádějící informace. Na vhodnost použití příslušné teorie má významný vliv i tvar a vzájemné rozměry průřezu. Než zvolíme vhodný výpočtový model, je třeba stanovit mezní délku  $\ell_k$ , která tvoří rozhraní mezi smíšenou teorií ( $\ell < \ell_k$ ) a teorií deplanační ( $\ell \geq \ell_k$ ) a mezní délku  $\ell_s$ , tvořící rozhraní mezi teorií zkosa ( $\ell \leq \ell_s$ ) a smíšenou teorií ( $\ell_s < \ell < \ell_k$ ). Obě délky jsou dány geometrickými, případně materiálovými charakteristikami prutu.

Délkou prutu  $\ell$  je zde myšlena vzdálenost mezi

průřezem vетknutým a průřezem, který se chová jako volný konec, která např. podle obr. 1a je rovna skutečné délce prutu, podle obr. 1b její polovině a podle obr. 1c její jedné čtvrtině.

V grafech sloužících k stanovení  $K$ , příp. délky  $\ell_k$ ,  $\ell_s$  jsou uvažovány profily o konstantní tloušťce  $t$ , což bývá splněno u profilů ohýbaných z plechu. Vliv různých tlouštek je rozebrán v kapitole 5.

#### 4.2 Výpočet podle teorie deplanace

V každém místě prutu lze určit normálné napětí  $\sigma_\omega(x, s)$  podle vztahu (3.18), prvotní smykové napětí  $\tau_1(x)$  podle vztahu (3.9) a druhotné smykové napětí  $\tau_{2\omega}(x, s)$  podle (3.12). Výsledná napjatost daného místa s přihlédnutím k (3.13) je zhodnocena vztahem

$$\sigma_{red}(x, s) = \sqrt{\sigma_\omega^2(x, s) + 3[\tau_1(x) + \tau_{2\omega}(x, s)]^2} \quad (4.4)$$

V nejvíce namáhaném místě v rohu profilu A (obr. 2) v průřezu ve vетknutí ( $x = \emptyset$ ) mají napětí velikost

$$\sigma_{\omega A} = \frac{\omega_A}{I_\omega} B(\emptyset) = \frac{\omega_A M_k}{I_\omega \alpha} \operatorname{tgh} \alpha \ell \quad ,$$

$$\tau_{2A} = \emptyset \quad (\text{neboť } S_{\omega A} = \emptyset) \quad , \quad (4.5)$$

$$\tau_{1A} = \emptyset \quad (\text{neboť } \partial(\emptyset) = \emptyset) \quad .$$

V místě A tedy vzniká jednoosá napjatost ( $\sigma_{\omega A}$ ), potom

$$\sigma_{\text{redA}} = \sigma_{\omega A}$$

Součinitel napjatosti je

$$K_A = \frac{\sigma_{\omega A}}{\sqrt{3} \tau_0} = \frac{\omega_A}{t} \sqrt{\frac{I_k E}{3 I_\omega G}} \operatorname{tgh} \alpha \ell \quad (4.6)$$

U dlouhých tyčí, pro něž je tento výpočet určen, lze předpokládat, že  $\operatorname{tgh} \alpha \ell \rightarrow 1$  a tedy

$$K_A = \frac{\omega_A}{t} \sqrt{\frac{I_k E}{3 I_\omega G}} \quad (4.7)$$

Součinitel  $K_A$  není závislý na délce prutu a uvážíme-li, že  $I_k = f(t^3)$ ,  $I_\omega = f(t)$  a  $\omega_A \neq f(t)$ , zjistíme, že není závislý ani na tloušťce  $t$ . Pro daný materiál ( $E/G$ ) je součinitel  $K$  především průřezovou veličinou závislou pouze na tvaru a rozměrech průřezu. Pro běžné tvary profilů I, U, Z je pro různé hodnoty poměru šířky a výšky profilu  $b/h$  součinitel  $K$  uveden v grafu na obr. 3.

Zkoumáme-li napjatost v prutu při stísněném krutu celkově, lze sledovat závislost  $\sigma_{\text{red}}$ , případně  $K(x,s)$  buď jako funkci souřadnice  $s$  ( $K(s)$ ) po šířce přírudy

(viz. obr. 4 v různých průřezech prutu) nebo jako funkci  $x$  ( $K(x)$ ) po délce prutu pro roh profilu A (obr. 5). Napjatost byla sledována na I profilu pro různé poměry  $b/h$  a pro  $t/h = 1/20$ . Součinitel  $K(x,s)$  nezávisí na délce prutu  $\ell$ . Závislost na tloušťce  $t$  je zřejmá z obr. 6.

Sledujeme-li průběh  $K(x)$  v rohu profilu A podle obr. 5, je

$$K_A(x) = \frac{1}{\sqrt{3} \tau_0} \sqrt{\sigma_A^2(x) + 3\tau_1^2(x)}, \quad (4.8)$$

neboť  $\tau_{2A}(x) = 0$ . Napětí  $\tau_1$  v rohu profilu je sice též rovno nule, ale podle předpokladu membránové analogie v těsné blízkosti místa A dosahuje v krajním vlákně již své plné výše. V tomto místě je ještě  $\sigma_\omega(s) \cong \sigma_{\omega A}$  a lze předpokládat vztah (4.8).

Poblíž místa větknutí shledáme na obr. 5 napjatost podobající se průběhem napětí v okolích vrubů, což vlastně odpovídá náhlému zásahu do průběhu volných deplanací v místě uložení.

Z grafu lze odečíst délku  $\ell_1$ , která představuje délku části prutu vystavené zvýšenému namáhání, neboť pro napjatost volného krutu je  $K(x) = 1$ . Ze zjednodušujícího předpokladu, že funkce  $K(x)$  se v okolí větknutí málo liší od lineární závislosti, lze určit  $\ell_1$ .

$$\ell_1 \approx \frac{K_A - 1}{|K'_A(\emptyset)|} , \quad (4.9)$$

kde  $K'_A(\emptyset)$  je derivací funkce  $K(x)$  pro  $x = \emptyset$ . Je-li funkce

$$K_A(x) = \frac{1}{\sqrt{3} \tau_0} \left[ \left( \frac{\omega_A M_k}{I \omega^\alpha} \right)^2 [ \sinh \alpha x - \tgh \alpha \ell \cos \alpha x ]^2 + \right.$$

$$\left. + 3 \left( \frac{M_k t}{I_k} \right)^2 [ \tgh \alpha \ell \sin \alpha x - \cosh \alpha x + 1 ]^2 \right] ,$$

dostaneme za předpokladu, že  $\tgh \alpha \ell \rightarrow 1$

$$K'_A(x) = \frac{P}{Q} ,$$

kde

$$P = \alpha [ ( K_A^2 + 1 ) ( \sinh 2\alpha x - \cosh 2\alpha x ) +$$

$$+ \cosh \alpha x - \sinh \alpha x ]$$

a

$$Q = \left[ ( K_A^2 + 1 ) ( \sinh \alpha x - \cosh \alpha x )^2 + 2 ( \sinh \alpha x - \right.$$

$$\left. - \cosh \alpha x ) + 1 \right]$$

a pro  $x = 0$  je  $K_A'(\emptyset) = -\alpha K$ . Potom

$$\ell_1 \cong \frac{K_A - 1}{\alpha K_A} . \quad (4.10)$$

Přesnější vztah dostaneme, hledáme-li průsečík křivky  $K_A(x)$  s konstantou  $K_A = 1$  pro volný krut. Pak podle (4.8) je

$$\frac{1}{\sqrt{3 \tau_0}} \left[ \frac{M_k^2 \omega_A^2}{I_k^2 \alpha^2} \{ \sinh \alpha x - \tgh \alpha \ell \cosh \alpha x \}^2 + \right.$$

$$\left. + 3 \frac{\tau^2 M_k^2}{I_k^2} \{ 1 - \cosh \alpha x + \tgh \alpha \ell \sin \alpha x \}^2 \right] = 1$$

Po úpravě a dosazení za  $\tgh \alpha \ell \cong 1$  dostaneme

$$1 = (K_A^2 + 1) (\sinh \alpha x - \cosh \alpha x)^2 + 2(\sinh \alpha x - \cosh \alpha x) + 1 .$$

Dosadíme-li za

$$\sinh \alpha x = \frac{e^{\alpha x} - e^{-\alpha x}}{2}$$

a za

$$\cosh \alpha x = \frac{e^{\alpha x} + e^{-\alpha x}}{2},$$

dostaneme

$$2e^{\alpha x} = ( K_A^2 + 1 )$$

a konečně

$$x = \ell_1 = \frac{1}{\alpha} \lg \left( \frac{K_A^2 + 1}{2} \right) \quad (4.11)$$

Vztah (4.10) vykazuje chybu až 20% vzhledem ke vztahu (4.11) a vyhovuje spíše pro menší hodnoty  $K_A$ .

Délka uplatnění zvýšeného namáhání  $\ell_1$  v závislosti na poměru  $b/h$  pro různé  $t/h$  je pro profil I znázorněna na obr. 7.

Délka  $\ell_2$  udává místo nejpříznivější napjatosti a získáme ji ze vztahu  $K_A' = 0$  (pro  $x = \ell_2$ ). Odtud vyjde

$$\ell_2 = \frac{1}{\alpha} \lg ( 1 + K_A ) \quad (4.12)$$

Délku  $\ell_2$  lze sledovat na obr. 8 v závislosti na poměru  $b/h$  pro různé  $t/h$  pro profil I. Tohoto místa lze využít pro ukončení případného zpevnění exponovaného okolí veknutí, protože tato změna průřezu bude rovněž znamenat místní špičku napětí.

Největší význam má stanovení délky  $\ell_k$ . Lze říci, že v

tomto místě přestává působit stísněný krut a zbývající část tyče o délce větší než  $\ell_k$  je vystavena v podstatě volnému krutu ( $K_A \approx 1$ ). Můžeme proto vyslovit předpoklad, že má-li prut délku  $\ell \geq \ell_k$ , neovlivňují se napjatosti obou koncových průřezů navzájem a prut se skutečně chová podle vztahu, který platí v teorii deplanace. Je tedy délka  $\ell_k$  hranicí platnosti deplanacní teorie. Její velikost stanovíme z podmínky  $K_A(x) \rightarrow 1$ , kde zvolíme přesnost výpočtu, kterou chceme dosáhnout, předepsáním tolerance hodnoty  $K_A(x)$  oproti 1. Označíme-li tuto odchylku  $p$ , platí

$$1 - K_A(x) \leq p , \quad (4.13)$$

tedy

$$(1 - p)^2 = K_A^2(x) = \frac{1}{3\tau_0^2} [\sigma_A^2(x) + 3\tau_1^2(x)] .$$

Po úpravě lze pro  $\tgh \alpha \ell \rightarrow 1$  psát

$$\begin{aligned} (1 - p)^2 &= (K_A^2 + 1) (\sinh \alpha x - \cosh \alpha x)^2 + \\ &\quad + 2(\sinh \alpha x - \cosh \alpha x) + 1 , \end{aligned}$$

$$p(p - 2) = (K_A^2 + 1) \left( \frac{-1}{e^{\alpha x}} \right)^2 + 2 \left( \frac{-1}{e^{\alpha x}} \right)$$

a konečně po zavedení  $n = p(2 - p)$  a  $y = e^{\alpha x}$  dostaneme rovnici

$$ny^2 - 2y + (K_A^2 + 1) = 0 \quad (4.14)$$

s kořeny

$$y_1 = \frac{1 - \sqrt{1 - n(K_A^2 + 1)}}{n};$$

$$y_2 = \frac{1 + \sqrt{1 - n(K_A^2 + 1)}}{n}.$$

Kořen  $y_1$  vede pro  $p = 0$  ( $n = 0$ ) na výraz

$$\begin{aligned} y_1 &= \lim_{n \rightarrow 0} \frac{1 - \sqrt{1 - n(K_A^2 + 1)}}{n} = \lim_{n \rightarrow 0} \frac{(K_A^2 + 1)}{2\sqrt{1 - n(K_A^2 + 1)}} = \\ &= \frac{K_A^2 + 1}{2} = e^{\alpha x_1}, \end{aligned}$$

což je v podstatě pro  $x_1 = \ell_1$  vztah (4.11). Tento vztah lze získat také přímo z rovnice (4.14) pro  $n = 0$ .

Druhý kořen  $y_2$  vede konečně na výraz pro  $\ell_k$

$$\ell_k = \frac{1}{\alpha} \lg \left[ \frac{1 + \sqrt{1 - n(K_A^2 + 1)}}{n} \right],$$

případně

$$\ell_k = \frac{1}{\alpha} \lg \left[ \frac{1 + \sqrt{1 - p(2-p)(K_A^2 + 1)}}{p(2-p)} \right] . \quad (4.15)$$

Závislost  $\ell_k$  na poměru  $b/h$  pro různá  $t/h$  pro profil I je uvedena na obr. 9 a závislost na předepsané přesnosti  $p$  opět pro různá  $b/h$  na obr. 10.

#### 4.3 Srovnání řešení teorií deplanace, MKP a řešení doporučeného ČSN 73 1401

Použijeme-li pro řešení stísněného krutu z jednodušenou diferenciální rovnici (3.19) a do vztahů (3.20) dosadíme pro  $M_k(x) = M_k$  okrajové podmínky  $B(\ell) = 0$  a  $\partial(0) = 0$ , po výpočtu konstant  $A_5 = 0$ ,  $A_4 = \frac{M_k \ell}{EI_\omega}$  dostaneme

$$\partial'(x) = \frac{M_k}{EI_\omega} (\ell - x) , \quad (4.16)$$

$$\partial(x) = \frac{M_k}{EI_\omega} \left( \ell x - \frac{x^2}{2} \right) . \quad (4.17)$$

Napětí v rohu profilu vypočteme podle vztahů (3.8), (3.9) a (3.12)

$$\sigma_A(x) = -E\omega_A \partial'(x) = -\frac{M_k \omega_A}{I_\omega} (\ell - x) ,$$

$$\tau_{2A}(x) = 0 , \quad (4.18)$$

$$\tau_1(x) = Gt \frac{M_k}{EI_\omega} \left( \ell x - \frac{x^2}{2} \right),$$

Součinitel napjatosti  $K_A(x)$  je dán opět vztahem (4.8) a v místě maximálního namáhání pro

$$\sigma_A(\emptyset) = \frac{-M_k \omega_A \ell}{I_\omega}$$

je roven

$$K_A = \frac{\omega_A I_k \ell}{\sqrt{3} t I_\omega} \quad . \quad (4.19)$$

Jeho závislost na průřezových veličinách je odlišná od vztahu (4.7) a především se liší tím, že je funkcí délky  $\ell$ .

Tento způsob výpočtu dává značně nadsazené výsledky pro špičky napětí v místě větknutí, jak ukazuje obr. 11, kde je pro prut o profilu I a rozměrech  $\ell/h = 15$ ,  $b/h = 1/2$ ,  $t/h = 1/20$  znázorněna funkce součinitele  $K_A(x)$  po délce prutu jednotlivými způsoby výpočtu. Z obr. 11 je patrná velmi dobrá shoda mezi průběhem funkce  $K_A(x)$  vypočteným podle deplanační teorie a zjištěným metodou konečných prvků po celé délce prutu (viz kapitola 6). Hodnota  $K_A$  podle (4.19) je několikanásobně vyšší. Další průběh  $K_A(x)$  daný z jednodušenou diferenciální rovnici (do něhož se promítá vliv  $\tau_1(x)$ ) už je zcela nereálný.

Lze říci, že pro dlouhé nosníky je toto zjednodušené řešení nevhodné.

Rešení podle [9], doporučené v Komentáři k ČSN 73 1401, kde vnitřní účinky v průřezu x vypočteme podle vztahů (3.22) a příslušná napětí podle (3.23) a kde je

$$\pi = 1 - \frac{2tgh(\alpha\ell/2)}{\alpha\ell}, \quad (4.20)$$

dává hodnotu  $K_A$  v exponovaném místě veknutí

$$K_A = \frac{\omega_A I_k \ell}{\sqrt{3tI_\omega}} (1 - \pi) = \frac{\omega_A I_k \ell}{\sqrt{3tI_\omega}} \frac{2tgh(\alpha\ell/2)}{\alpha\ell} \quad (4.21)$$

Ve srovnání s deplanační teorií jsou tyto výsledky přijatelnější, avšak stále ještě vedou k předimenzování průřezu. Dá se říci, že ve srovnání s výpočtem navrženým v této kapitole je výpočet méně přesný a přitom není méně pracný.

Srovnáme-li průběh napjatosti po délce tyče určený teorií deplanace a MKP, liší se výrazněji v okolí volného konca. To je dáno špičkou napětí, která vznikne v místě přiložení kroutícího momentu  $M_k$ . Způsob modelování přiložení  $M_k$  je uveden v kap. 6.

Na obr. 12 je dále uvedena závislost součinitele  $K_A$  na poměru  $b/h$  pro jednotlivé způsoby výpočtu.

#### 4.4 Výpočet podle teorie zkousu

Diferenciální rovnice popisující daný jev pro  $M_k(x) = \text{konst.} = M_k$  (a tedy  $m_k = 0$ ) je podle (3.34)

$$B''_{\gamma} - \beta^2 B_{\gamma} = 0 \quad , \quad (4.22)$$

kde

$$\beta^2 = \frac{a_6}{a_5} \quad , \quad a_6 = \frac{I_{\gamma}}{EI^2 \rho} \quad , \quad (4.23)$$

$$a_5 = \frac{1}{G} \left[ \frac{1}{I_{\rho}} + \frac{1}{I_k} - \frac{S_{\gamma} t \ ds}{I_k I_{\rho}} \right]$$

Pokud ve výrazu pro energii napjatosti zanedbáme energii od  $\tau_{2\gamma}$ , dostaneme

$$\beta^2 = \frac{GI_{\gamma}I_k}{EI_{\rho}(I_k + I_{\rho})} \quad . \quad (4.24)$$

Rozdíl ve výsledcích je velmi malý.

Řešení rovnice (4.22) má tvar

$$B_{\gamma} = C_1 \sinh \beta x + C_2 \cosh \beta x$$

a okrajové podmínky této úlohy pro větknutí - volný konec jsou

$$M_\gamma(\emptyset) = B'_\gamma(\emptyset) = M_k$$

(4.25)

$$B_\gamma(\ell) = \emptyset$$

Po určení konstant  $C_1, C_2$  dostaneme

$$B_\gamma(x) = \frac{M_k}{\beta} (\sinh \beta x - \tanh \beta \ell \cosh \beta x) ,$$

$$B'_\gamma(x) = M_\gamma(x) = M_k (\cosh \beta x - \tanh \beta \ell \sin \beta x) , \quad (4.26)$$

$$M_1(x) = M_k - B'_\gamma(x) = M_k (1 - \cosh \beta x + \tanh \beta \ell \sinh \beta x) .$$

Odpovídající napětí podle (3.38) jsou

$$\sigma_\gamma(x) = \frac{B_\gamma(x)}{I_\rho} \gamma(s) ,$$

$$\tau_{2x}(x) = \frac{M_\gamma(x)}{I_\rho} \rho , \quad (4.27)$$

$$\tau_1(x) = \frac{M_1(x)}{I_k} t .$$

Pro průřezy skládající se z rovných částí jsou průřezové veličiny  $\gamma$  a  $\rho$  konstantní v jednotlivých částech průřezu (např. v přírubě) a jsou tedy konstantní i napětí  $\sigma_\gamma$  a  $\tau_{2\gamma}$ . Zůstává proměnnost pouze po délce tyče. Pro součinitel napjatosti opět platí

$$K_A(x) = \frac{\sqrt{\sigma_\gamma^2(x) + 3[\tau_{2\gamma}(x) + \tau_1(x)]^2}}{\sqrt{3} \tau_0} . \quad (4.28)$$

Průběh  $K_A(x)$  po délce prutu pro I profil v závislosti na různých rozměrech  $b/h$  při  $t/h = 1/20$ , je-li  $\ell = 2h$ , je zřejmý z obr. 13 a při  $\ell = 3h$  z obr. 14. Délka prutu  $\ell$  je u krátkých prutů faktor, který ovlivňuje velikost napjatosti.

Vypočteme-li poměrnou tuhost  $\beta$  podle přesných vztahů (4.23), případně podle přibližných (4.24) nepřestoupí chyba  $\beta$  hodnotu  $\sim 6\%$ .

V exponovaném místě nabývají jednotlivá napětí velikosti

$$\sigma_{\gamma A} = \sigma_\gamma(\emptyset) = - \frac{\gamma M_k}{I_\rho} \tgh \beta \ell ,$$

$$\tau_{2\gamma} = \frac{\rho M_k}{I_\rho} , \quad (4.29)$$

$$\tau_1(\emptyset) = 0$$

Potom je

$$K_A = \frac{1}{\sqrt{3} \tau_0} \sqrt{\sigma_\gamma^2(\emptyset) + 3\tau_{2\gamma}^2(\emptyset)} =$$

$$= \frac{1}{\sqrt{3} \tau_0} \sqrt{\gamma^2 \left( \frac{\tgh \beta \ell}{\beta} \right)^2 + 3\rho^2} \quad (4.30)$$

Závislost  $K_A$  na délce tyče  $\ell$  pro různé b/h profilu I je uvedena na obr. 15.

Tloušťka  $t$  se objeví v průřezových veličinách takto:

$$I_k = f(t^3) , \quad I_\rho = f(t) ,$$

takže lze vyjádřit

$$K_A = t + \bar{K}_A , \quad (4.31)$$

kde

$$\bar{K}_A = \frac{I_k}{\sqrt{3} t^2 I_\rho} \sqrt{\gamma^2 \left( \frac{\tanh \beta \ell}{\beta} \right)^2 + 3\rho^2} , \quad (4.32)$$

Pomocí součinitele  $\bar{K}_A$  je eliminována závislost na  $t$ .

Skutečný součinitel napjatosti  $K_A$  po odečtení  $\bar{K}_A$  z grafu lze určit ze vztahu (4.31).

Použijeme-li zjednodušené teorie smyku, jak je uvedena např. v [3], kdy ve výrazu pro energii napjatosti je uvažována pouze energie od  $\tau_2$  podle (3.36), vede vztah (4.1) na

$$K_A(x) = \frac{1}{\sqrt{3} \tau_0} \sqrt{\sigma_y^2(x) + 3\tau_2^2} , \quad (4.33)$$

kde

$$\tau_{2\gamma} = \frac{M_k}{I_\rho} \rho = \text{konst} \quad , \quad (4.34)$$

$$\sigma_\gamma(x) = - \frac{\gamma}{I_\rho} \cdot \left\{ \int_1^x M_k dx + B_\gamma(\ell) \right\} .$$

Z okrajové podmínky  $B_\gamma(\ell) = \emptyset$  plyně

$$B_\gamma(x) = M_k(x - \ell) . \quad (4.35)$$

V exponovaném místě je  $B_\gamma(\emptyset) = - M_k \ell$  a součinitel napjatosti

$$K_A = \frac{I_k}{\sqrt{3 t I_\rho}} \sqrt{\gamma^2 \ell^2 + 3\rho^2} . \quad (4.36)$$

Závislost na  $t$  je opět možno vyloučit pomocí součinitele

$\bar{K}_A$ :

$$K_A = t \bar{K}_A ,$$

$$\bar{K}_A = \frac{I_k}{\sqrt{3 t^2 I_\rho}} \sqrt{\gamma^2 \ell^2 + 3\rho^2} . \quad (4.37)$$

Z jednodušenou teorií, která skytá výhodu jednoduššího vztahu (4.36) oproti (4.30), lze použít tehdy, platí-li s dostatečnou přesností  $\ell \cong \frac{\operatorname{tgh} \beta \ell}{\beta}$ . Připustíme-li např. toleranci 10%, je

$$\beta \ell \cong 1,1 \operatorname{tgh} \beta \ell$$

Rozvedeme-li  $\operatorname{tgh} \beta \ell$  v řadu, pak

$$\beta \ell = 1,1 \left[ \beta \ell - \frac{1}{3} (\beta \ell)^3 + \frac{1}{6} (\beta \ell)^5 + \dots \right] ,$$

a po zavedení  $y = (\beta \ell)^2$  dostaneme

$$y^2 - 2y + 0,6 = 0 ,$$

kde

$$y_{1,2} = 1 \pm 0,632$$

Nejmenší kladný kořen  $\beta \ell = \beta \ell_3 \cong 0,61$ . Tedy pro délky tyče menší než  $\ell_3$ , kde

$$\ell_3 \leq \frac{0,61}{\beta} , \quad (4.38)$$

lze této teorie použít s příslušnou předepsanou přesnosti.

#### 4.5 Srovnání řešení teorií zkusu, MKP a řešení doporučeného ČSN 73 1401

Srovnání bylo provedeno sledováním napjatosti v prutu v průřezu I o rozměrech  $b/h = 0,5$ ,  $t/h = 1/20$  a délce  $\ell = 2h$  (viz obr. 16) a  $\ell = 3h$  (viz obr. 17).

Součinitel napjatosti  $K_A(x)$  byl opět sledován po délce tyče. Napětí pro výpočet součinitele podle zjednodušené diferenciální rovnice jsou dána vztahy (4.18) a podle Melchera vztahy (3.23). Napětí podle teorie zkusu určují vztahy (4.27) a podle její zjednodušené varianty vztahy (4.34). V obr. 16 a obr. 17 jsou dále vyneseny hodnoty  $K_A(x)$  získané na výpočtovém modelu metodou konečných prvků.

Z obr. 16 a 17 je zřejmé, že napjatost v místě větknutí podle zjednodušené diferenciální rovnice je více než dvojnásobně větší. Rovněž upravený výpočet podle Melchera je značně nadsazen, korekce pomocí součinitele  $\alpha$  je méně účinná než u dlouhých prutů při srovnávání s teorií deplanační. Hodnoty napětí zjištěné pomocí MKP v místě větknutí nám pomohou k stanovení velikosti části příruby, která přenáší normálná napětí (viz. kap. 5.4).

Zajímavé je sledování průběhu napjatosti po délce tyče. Průběh klesající funkce  $K_A(x)$  podle teorie zkusu směrem k volnému konci je pozvolnější než u MKP, zatímco klesající funkce  $K_A(x)$  přibližné teorie zkusu, která vůbec neuvažuje vliv napětí  $\tau_1(x)$ , jež se právě uplatňuje v okolí volného konce, je naopak strmější. V prvém případě je vliv  $\tau_1(x)$  poněkud přeceněn, v druhém nedoceněn.

Srovnáme-li dál napjatost v místě větknutí u různě dlouhých prutů, je zřejmé, že kratší pruty jsou pevnější, napjatost v nich je výrazně menší než základní napjatost

volného krutu ( $K_A < 1$ ).

#### 4.6 Výpočet podle smíšené teorie

Ze soustavy rovnic (3.47) a (3.48) dostaneme pomocí (3.40) jedinou diferenciální rovnici

$$B''_\omega - \lambda^2 B_\omega = -\lambda^2 B \quad , \quad (4.39)$$

kde

$$\lambda^2 = \frac{(a_6 - a_2)a_3}{(a_3^2 - a_1 a_5)} \quad (4.40)$$

Součinitelé  $a_1 + a_6$  jsou dány vztahy (3.49) a jsou závislé pouze na průřezových veličinách a materiálu prutu. Podle [3], kde je v řešení zanedbáno napětí  $\tau_1$ , je funkce bimomentu navržena ve tvaru  $B(x) = -M_k(\ell - x)$ . Řešení diferenciální rovnice podle (3.52) pro okrajové podmínky

$$B_\omega(1) = 0 \quad , \quad B'_\omega(0) = 0$$

má tvar

$$B_\omega(x) = \frac{M_k}{\lambda} \left[ \operatorname{tgh} \lambda \ell \cos \lambda x - \sinh \lambda x \right] - M_k(\ell - x) \quad , \quad (4.41)$$

$$M_{\omega}(x) = B'_{\omega}(x) = M_k [ \tgh \lambda \ell \sinh \lambda x - \cosh \lambda x + 1 ]$$

Odpovídající napětí  $\sigma(x)$  a  $\tau_2(x)$  získáme ze vztahů (3.43). Toto řešení dává v místě veknutí výraz pro součinitel napjatosti

$$K_A = \frac{I_k \left[ \frac{1}{\lambda^2} \left( \frac{\omega}{I_{\omega}} (\tgh \lambda \ell - \lambda \ell) + \frac{\gamma}{I\rho} \tgh \lambda \ell \right)^2 + 3 \frac{\rho^2}{t I^2 \rho} \right]}{\sqrt{3} t},$$

což vede k nadsazeným velikostem napětí v celém rozsahu délky, jak ukazuje obr. 34 (křivka 3) a zvláště pro délky blížící se k hodnotě  $\ell_k$  je nevhodné. Zanedbání vlivu napětí  $\tau_1$  ( $M_k = B'_{\omega} + B'_{\gamma}$ ) se projeví zvláště u prutů o délkách  $\ell \rightarrow \ell_k$ , kde je část prutu v okolí volného konce zatížena napjatostí blížící se napjatosti volného krutu.

Dále byla navržena funkce  $B(x)$  tak, aby pro délky prutu blížící se k hodnotě  $\ell_s$  shora a k hodnotě  $\ell_k$  zdola charakter průběhu napjatosti odpovídal napjatostem teorie zkusu a deplanace. Vyjdeme ze vztahu (3.39)

$$M_k = B'(x) + M_1(x)$$

a budeme předpokládat, že funkce  $M_1(x)$  má stejný průběh po délce prutu jako v teorii deplanace, t. j.

$$M_1(x) = GI_k \vartheta(x) =$$

$$= M_k ( 1 - \cosh \lambda x + \tgh \lambda \ell \sinh \lambda x ) \quad . \quad (4.42)$$

Pak je

$$B'(x) = M_k - M_1(x) =$$

$$= M_k ( \cosh \lambda x - \tgh \lambda \ell \sinh \lambda x ) \quad . \quad (4.43)$$

a

$$B(x) = \int B'(x) dx + c_3 =$$

$$= \frac{M_k}{\lambda} ( \sinh \lambda x - \tgh \lambda \ell \cosh \lambda x ) + c_3 \quad , \quad (4.44)$$

kde z okrajové podmínky  $B(\ell) = 0$  plyne  $c_3 = 0$ .

Rešení podle (3.52) je

$$B_O(x) = c_1 \sinh \lambda x + c_2 \cosh \lambda x - M_k \int_0^x ( \sinh \lambda \xi -$$

$$- \tgh \lambda \ell \cosh \lambda \xi ) \sinh \lambda (x - \xi) d\xi \quad . \quad (4.45)$$

a po určení integrálu

$$B_O(x) = c_1 \sinh \lambda x + c_2 \cosh \lambda x - \quad . \quad (4.46)$$

$$- \frac{M_k}{2\lambda} [ \lambda x ( \cosh \lambda x - \tgh \lambda \ell \sinh \lambda x ) - \sinh \lambda x ] \quad .$$

Z okrajových podmínek vyjde

$$c_1 = \emptyset ,$$

$$c_2 = \frac{M_k}{2\lambda} [ \lambda \ell - \operatorname{tgh} \lambda \ell - \lambda \ell \operatorname{tgh}^2 \lambda \ell ] .$$

Po dosazení dostaneme

$$\begin{aligned} B_\omega(x) &= \frac{M_k}{2\lambda} [ \sinh \lambda x \{ 1 - \lambda x \operatorname{tgh} \lambda \ell \} + \\ &+ \cosh \lambda x \{ \lambda \ell - x \} - \lambda \ell \operatorname{tgh}^2 \lambda \ell - \operatorname{tgh} \lambda \ell \} ] \end{aligned} \quad (4.47)$$

V místě větknutí je

$$B_\omega(0) = \frac{M_k}{2\lambda} [ \lambda \ell \{ 1 - \operatorname{tgh}^2 \lambda \ell \} - \operatorname{tgh} \lambda \ell ] . \quad (4.48)$$

Dále je

$$\begin{aligned} M_\omega(x) &= B'_\omega(x) = \frac{M_k}{2} [ \sinh \lambda x \{ \lambda \ell \{ 1 - \operatorname{tgh}^2 \lambda \ell \} - \lambda x \} + \\ &+ \lambda x \operatorname{tgh} \lambda \ell \cosh \lambda x ] . \end{aligned} \quad (4.49)$$

Určíme zbývající funkce

$$B_\gamma(x) = B(x) - B_\omega(x) ,$$

$$B_\gamma(x) = \frac{M_k}{2\lambda} [ \sinh \lambda x (1 - \lambda x \operatorname{tgh} \lambda \ell) + \\ + \cosh \lambda x \{ \lambda \ell (x - \ell) + \lambda \ell \operatorname{tgh}^2 \lambda \ell - \operatorname{tgh} \lambda \ell \} ] \quad . \quad (4.50)$$

Pro místo větknutí platí

$$B_\gamma(0) = \frac{M_k}{2\lambda} [ \lambda \ell \operatorname{tgh}^2 \lambda \ell - 1 ] - \operatorname{tgh} \lambda \ell \quad . \quad (4.51)$$

a dále

$$M_\gamma(x) = B'_\gamma(x) = \frac{M_k}{2} [ \cosh \lambda x (2 - \lambda x \operatorname{tgh} \lambda \ell) + \\ + \sinh \lambda x \{ \lambda x + \lambda \ell \operatorname{tgh}^2 \lambda \ell - 1 \} - 2 \operatorname{tgh} \lambda \ell \} ] \quad . \quad (4.52)$$

Po dosazení do vztahů (3.43) dostaneme pro okraj přírub, kde  $\tau_{z\omega}(x) = 0$  následující napětí

$$\sigma(x) = \frac{M_k}{2\lambda} \{ [ \cosh \lambda x ( \lambda \ell - \lambda \ell \operatorname{tgh}^2 \lambda \ell - \operatorname{tgh} \lambda \ell ) - \\ - \lambda x \cos \lambda x + \sinh \lambda x ( 1 + \lambda x \operatorname{tgh} \lambda \ell ) ] \frac{\omega_A}{I_\omega} - \\ - \frac{\gamma}{I_\rho} [ \cosh \lambda x ( \lambda x - \lambda \ell + \lambda \ell \operatorname{tgh}^2 \lambda \ell - \operatorname{tgh} \lambda \ell ) +$$

$$+ \sinh \lambda x (1 - \lambda x \operatorname{tgh} \lambda \ell) ] \} , \quad (4.53)$$

$$\begin{aligned} \tau_2(x) = \tau_{2\gamma}(x) = & \frac{M_k \rho}{2tI_\rho} [ \cosh \lambda x (2 - \lambda x \operatorname{tgh} \lambda \ell) + \\ & + \sinh \lambda x \{ \lambda x + \lambda \ell (\operatorname{tgh}^2 \lambda \ell - 1) - 2 \operatorname{tgh} \lambda \ell \} ] , \end{aligned} \quad (4.54)$$

$$\tau_1(x) = \frac{M_k t}{I_k} (1 - \cosh \lambda x + \operatorname{tgh} \lambda \ell \sinh \lambda x) \quad (4.55)$$

Napětí  $\sigma_\omega$  a  $\sigma_\gamma$  mají v krajích přírub různá znaménka podle znamének  $\omega_A$ ,  $\gamma$ . Nejvíce bude namáháno to místo, kde obě napětí budou mít stejná znaménka a tedy do výpočtu  $\sigma_{red}$  zahrneme

$$\sigma_\omega(x) = \left| \frac{\omega_A B_\omega(x)}{I_\omega} \right| ;$$

$$\sigma_\gamma(x) = \left| - \frac{\gamma B_\gamma(x)}{I_\rho} \right| .$$

Výsledné redukované napětí je

$$\sigma_{red}(x) = \sqrt{\sigma^2(x) + 3[\tau_2(x) + \tau_1(x)]^2} \quad (4.56)$$

a

$$K(x) = \frac{\sigma_{red}(x)}{\sqrt{3} \tau_0} . \quad (4.57)$$

Průběh součinitele  $K(x)$  po délce prutu profilu I o rozměrech  $h/b = 2$ ,  $t/h = 1/20$  a  $\ell = 5h$  je na obr. 35.

V exponovaném průřezu v místě veknutí opět v kraji přírubby A jsou napětí

$$\sigma_A = \sigma(\emptyset) = \frac{M_k}{2\lambda} D ,$$

kde

$$D = \frac{\omega}{I_\omega} + \lambda \ell \left( 1 - \operatorname{tgh}^2 \lambda \ell \right) - \operatorname{tgh} \lambda \ell +$$

$$+ \frac{\gamma}{I_\rho} \left\{ \lambda \ell \left( 1 - \operatorname{tgh}^2 \lambda \ell \right) + \operatorname{tgh} \lambda \ell \right\} ,$$

$$\tau_2(\emptyset) = \frac{M_k \rho}{I_\rho} , \quad (4.58)$$

$$\tau_1(\emptyset) = 0 .$$

Potom je

$$K_A(\ell) = \frac{1}{\sqrt[3]{\tau_0}} \cdot \sqrt{\sigma_A^2 + 3\tau_2^2(\emptyset)} =$$

$$= \frac{I_k}{\sqrt[3]{t}} \cdot \sqrt{\frac{D^2}{4\lambda^2} + 3 \frac{\rho^2}{I_\rho^2}} . \quad (4.59)$$

Součinitel napjatosti  $K_A(\ell)$  je kromě na rozměrech

průřezu závislý na délce prutu  $\ell$ , což je zřejmé z obr. 34 ( křivka 1 ). Tento průběh by měl navazovat pro malé délky  $\ell$  na  $K_A$  vypočtené podle teorie zkusu (4.30) a pro délky  $\ell \rightarrow \ell_k$  by se měl blížit k hodnotě  $K_A$  vypočtené podle teorie deplanace (4.7).

Z obr. 34 je zřejmé, že toto průběh funkce  $K_A(\ell)$  vcelku splňuje. Pro  $\ell \rightarrow \ell_k$  je skutečně  $K_A(\ell_k) \rightarrow K_A$  podle teorie deplanace ( označme dále  $K_{A_1}$  ). Toto platí tehdy, předpokládáme-li, že  $\lambda \rightarrow \alpha$  a tomu odpovídající velikost průřezových veličin  $\gamma$  a  $I_\gamma$  ( viz kap. 5.4 ). Na obr. 34 jsou vyneseny hodnoty  $K_A$  pro pruty o délce  $\ell = 3h$  a  $\ell = 5h$  zjištěné pomocí MKP.

Nevýhodou tohoto řešení je složitost a pracnost výpočtu  $K_A$  podle (4.59) zvláště s přihlédnutím k výpočtu  $\lambda$  a  $\sigma_A$  podle (4.58). Nabízet proto konstruktérovi tyto složité výrazy pro zjednodušený výpočet bylo téměř opovážlivé.

Podíváme-li se na průběh součinitele  $K_A(\ell)$  podle teorie zkusu ( dále  $K_{A_2}(\ell)$  ), je z obr. 34 ( křivka 2 ) zřejmé, že charakter funkce je rovněž zachován. Vezmeme-li za základ výpočtu tuto závislost podle vztahu (4.30) a navrhneme nový tvar křivky  $K_A(\ell)$  pro interval  $\ell_s < \ell < \ell_k$  ve tvaru

$$K_A(\ell) = \frac{I_k}{\sqrt{3 t I_\rho}} \sqrt{\gamma^2 \left( \frac{\operatorname{tgh} \delta \ell}{\delta} \right)^2 + 3 \rho^2} . \quad (4.60)$$

Je třeba určit parametr  $\delta$  tak, aby vyhověl pro libovolnou délku  $\ell$  v rovnosti

$$K_A(\ell) = K_{A2}(\ell) \frac{K_{A1}}{K_{A2}(\ell_k)}, \quad (4.61)$$

kde

$$K_{A1} = \frac{I_k \omega_A}{\sqrt{3} \tau \alpha I_\omega},$$

$$K_{A2}(\ell) = \frac{I_k}{\sqrt{3} \tau I_\rho} \sqrt{\gamma^2 \left( \frac{\operatorname{tgh} \beta \ell}{\beta} \right)^2 + 3\rho^2}$$

$$K_A(\ell_k) = \frac{I_k}{\sqrt{3} \tau I_\rho} \sqrt{\frac{\gamma^2}{\beta^2} + 3\rho^2}$$

pro  $\operatorname{tgh} \beta \ell_k \rightarrow 1$ .

Po dosazení a úpravě dostaneme

$$C_0^2(\ell) = \left( \frac{\operatorname{tgh} \delta \ell}{\delta} \right)^2 = \left( \frac{\omega I_\rho}{\alpha I_\omega} \right)^2 \frac{\left( \gamma \frac{\operatorname{tgh} \beta \ell}{\beta} \right)^2 + 3\rho^2}{\left( \frac{\gamma}{\beta} \right)^2 + 3\rho^2} - 3\rho^2 \quad (4.62)$$

a potom je součinitel napjatosti

$$K_A(\ell) = \frac{I_k}{\sqrt{3} t I_\rho} \sqrt{\gamma^2 C_0^2(\ell) + 3\rho^2} \quad (4.63)$$

Položíme-li spodní část intervalu pro délku  $\ell$  podle (4.38) do hodnoty

$$\ell_s = \ell_3 = \frac{0,61}{\beta}, \quad (4.64)$$

lze s dostatečnou přesností předpokládat, že

$$3\rho \ll \gamma \frac{\tgh \beta \ell_s}{\beta},$$

pak toto platí pro libovolné  $\ell > \ell_s$  v celém intervalu platnosti smíšené teorie ( $3\rho \ll \gamma \frac{\tgh \beta \ell}{\beta}$ ). Pak součinitel  $C_0(\ell)$  lze vyjádřit jednodušeji

$$C_0(\ell) = \frac{\tgh \delta \ell}{\delta} = \frac{\omega_A I_\rho}{\alpha I_\omega \gamma} \tgh \beta \ell. \quad (4.65)$$

Rovněž vztah pro součinitel napjatosti se tím zjednoduší

$$K_A(\ell) = \frac{I_k \gamma}{\sqrt{3} t I_\rho} \frac{\tgh \delta \ell}{\delta} = \frac{I_k \omega_A \tgh \beta \ell}{\sqrt{3} t \alpha I_\omega} \quad (4.66)$$

Rozdíl mezi výsledky podle (4.66) a (4.63) je zanedbatelný.

Na obr. 36 je vynesena závislost  $K_A(\ell)$  podle (4.66)

( křivka 2 ) ve srovnání s hodnotou stanovenou smíšenou teorií podle (4.59) ( křivka 1 ). Nahrazení vyhovuje velmi dobře v horní části intervalu ( $\ell_s$ ,  $\ell_k$  ), ve spodní části dává hodnoty poněkud vyšší. Pro zpřesnění je možno pro délky  $\ell \rightarrow \ell_s$  určit součinitele napjatosti jako střední hodnotu  $K_A(\ell)$  podle (4.66) a  $K_A(\ell)$  podle (4.30). Body jsou opět vyznačeny výsledky podle MKP. Jejich shoda se jeví dokonce lepší s náhradní křivkou 2 než křivkou 1 podle smíšené teorie.

Průběh součinitele  $K_A$  podle (4.66) v závislosti na  $\ell$  pro různá b/h je pro profil I uveden na obr. 37.

Srovnání celkové napjatosti po souřadnici x pro délku prutu  $\ell = 5h$  je zřejmé z obr. 35 pro přesné řešení podle smíšené teorie ( vztah 4.59 ), řešení podle CSN 73 1401, podle [7] a pomocí MKP. Závěry o výsledcích jsou obdobné jako u teorie zkusu.

Pozn.: Namáhání na krut se u prutu často vyskytuje současně s ohybem. Obyčejně však maximální ohybové momenty působí v těchž místech jako extrémní namáhání od stísněného krutu ( veknutí, průřezy v ose symetrie ). V exponovaném místě vzniká při stísněném krutu jednoosá napjatost ( teorie deplanace ), nebo ji lze za jednoosou přibližně považovat ( $\tau_2 \ll \sigma_A$ ) u teorie smíšené. V tom případě je výsledné normálné napětí dáno superposicí  $\sigma_o$  a  $\sigma_A$ , které lze určit zde uvažovaným způsobem.

Jakmile napjatost stísněného krutu není jednoosá, je

nutný pro její zhodnocení komplexní výpočet  $\sigma_{\text{red}}$

$$\sigma_{\text{red}} = \sqrt{[\sigma_0(x) + \sigma(x)]^2 + 3[\tau_1(x) + \tau_2(x) + \tau(x)]^2}, \quad (4.67)$$

kde  $\sigma_0(x)$  je příslušné napětí od ohybového momentu a  $\tau(x)$  od posouvající sily.

V exponovaném místě je třeba se složitější napjatostí počítat u velmi krátkých nosníků ( $\ell < \ell_s$ ), kde existují napětí  $\tau_2$  a  $\sigma_A$ . Tam se však lze podle přibližné teorie smyku obejít bez řešení diferenciální rovnice a  $\sigma_A$ ,  $\tau_2$  vypočítat z jednoduchých vztahů (3.38).

Pokud nás při kombinovaném namáhání s ohybem zajímá nejen místo extrémního zatížení, ale i napjatost v jiném průřezu, či jiném místě průřezu než A, nezbývá než jednotlivá napětí určit a komplexně zhodnotit podle (4.67). Výhoda definice součinitele napjatosti v tomto případě pozbývá smysl.

#### 4.7 Nástin kontrolního výpočtu

Při kontrole exponovaného místa A prutu namáhaného stísněným krutem postupujeme následovně:

- 1) Vypočteme průřezové veličiny  $I_k$ ,  $I_\omega$ ,  $I_\rho$ ,  $I_\gamma$ ,  $\omega_A$ ,  $\gamma$ ,  $\rho$ .
- 2) Určíme charakteristické délky prutu  $\ell_s$ ,  $\ell_k$ :

$$\ell_s = \frac{0,61}{\beta} \quad ,$$

kde

$$\beta^2 = \frac{GI\gamma I_k}{EI_p(I_p + I_k)},$$

$$\ell_k = \frac{1}{\alpha} \lg \left[ \frac{1 + \sqrt{1 - n(K_A^2 + 1)}}{n} \right],$$

kde

$$\alpha^2 = \frac{GI_k}{EI_\omega},$$

$$K_A = \frac{\omega_A I_k}{\sqrt{3 t I_\omega \alpha}}$$

a zvolíme-li  $p$ , je  $n = p(2 - p)$ .

3) Přiřadíme délku prutu  $\ell$  do příslušného intervalu.

Délkou  $\ell$  je myšlena vzdálenost mezi většinou a průřezem prutu, který se chová jako volný konec (viz obr. 1).

Pak platí jedna z následujících eventualit:

a)  $\ell \geq \ell_k$ ,

b)  $\ell \leq \ell_s$ ,

c)  $\ell_s < \ell < \ell_k$ .

4) Vypočteme napětí v prutu při volném krutu

$$\tau_0 = \frac{M_k t}{I_k}$$

a redukované napětí podle HMH odpovídající volnému krutu

$$\sigma_{red,0} = \sqrt{3} \tau_0$$

5) a) Platí-li  $\ell \geq \ell_k$ , vypočteme součinitel napjatosti

$$K_A = \frac{\omega_A I_k}{\sqrt{3} t I_\omega^\alpha}$$

b) Platí-li  $\ell \leq \ell_s$ , vypočteme

$$K_A = \frac{I_k}{\sqrt{3} t I_\rho} \sqrt{\gamma^2 \ell^2 + 3\rho^2}$$

c) Platí-li  $\ell_s < \ell < \ell_k$ , je

$$K_A \cong \frac{\omega_A I_k \operatorname{tgh} \beta \ell}{\sqrt{3} t I_\omega^\alpha}$$

6) Napětí v místě A jest

$$\sigma_A = K_A \sigma_{red,0}$$

Průřezové veličiny  $I_k$ ,  $I_\omega$ ,  $\omega_A$ , parametry diferenciální rovnice  $\alpha$ ,  $\beta$ , délku  $\ell_k$  a příslušné součinitele napjatosti

$K_A$  lze určit pro profily I, U, Z z příslušných přiložených grafů v závislosti na poměrných rozměrech průřezu.

Výpočetem souboru soustav rovnic lze určit všechny hodnoty jednotlivých průměrů profilu, které jsou významné pro určování vlastností konstrukce. Využíváním uprostředního výpočtu v klasické práci je však přesného výsledku výpočtu vložení k, kdy výpočet je v poslední řadě závislý na určitých veličinách vypočítaných ve výpočtu K, tedy na  $\alpha_1$ ,  $\alpha_2$ ,  $\alpha_3$ ,  $\alpha_4$ ,  $\alpha_5$  a  $\alpha_6$  a také na  $\beta_1$ ,  $\beta_2$  a  $\beta_3$ , může být výsledek výpočtu vložení k výsledkem výpočtu K. Aby bylo možné vložení k výpočtu K vložit do výpočtu K, musí být určena výpočetní řada vložení k, která je výsledkem výpočtu K. Tento výpočetní řadu lze určit pomocí výpočtu K, kdy výpočet K je určen pomocí výpočtu vložení k. Výpočetní řada vložení k je určena pomocí výpočtu vložení k, kdy výpočet vložení k je určen pomocí výpočtu K.

#### 4.2. Výpočetní řada vložení k

Výpočetní řada vložení k je určena pomocí výpočtu K, kdy výpočet K je určen pomocí výpočtu vložení k. Výpočetní řada vložení k je určena pomocí výpočtu vložení k, kdy výpočet vložení k je určen pomocí výpočtu K. Výpočetní řada vložení k je určena pomocí výpočtu vložení k, kdy výpočet vložení k je určen pomocí výpočtu K.

Výpočetní řada vložení k je určena pomocí výpočtu K, kdy výpočet K je určen pomocí výpočtu vložení k. Výpočetní řada vložení k je určena pomocí výpočtu vložení k, kdy výpočet vložení k je určen pomocí výpočtu K. Výpočetní řada vložení k je určena pomocí výpočtu vložení k, kdy výpočet vložení k je určen pomocí výpočtu K.

## 5. Průřezové veličiny

Při výpočtu napjatosti při stísnění krutu jakýmkoli způsobem se nevyhneme určení řady průřezových veličin, zřejmých z příslušných vztahů v kapitole 3 a rovněž definovaných v této kapitole. Použijeme-li způsob výpočtu navržený v této práci, je třeba především určit moment tuhosti v krutu  $I_k$  pro výpočet  $\tau_0$  a posléze řadu dalších průřezových veličin vyskytujících se ve výrazech (4.7), (4.30), případně (4.36) a (4.66) pro  $K_A$  a ve výrazech (4.15) a (4.64) pro  $\ell_k$  a  $\ell_s$ . Ačkoli se podařilo odstranit pracnost řešení diferenciální rovnice, zbývající část, t. j. právě stanovení příslušných průřezových veličin zůstává. V této kapitole je uveden pokus o alespoň částečné zjednodušení této části řešení.

### 5.1 Grafické zpracování průřezových veličin

Pro nejběžnější tenkostenné otevřené profily, t. j. profil I, U a Z, jsou přiloženy grafy některých průřezových veličin zpracované na počítači pro profily o konstantní tloušťce. Veličiny uvedené v grafech jsou upraveny zavedením

$$\xi = \frac{b}{h} ; \quad \eta = \frac{h}{t} . \quad (5.1)$$

Rozsah poměru  $b/h$  a  $h/t$  je volen tak, aby vyhovoval běžným rozměrům ohýbaných průřezů vyskytujících se v

konstrukčních automobilů, případně textilních strojů.  
Rovněž vyhovuje pro rozměry válcovaných profilů podle  
ČSN.

Moment tuhosti v kroucení  $I_k$  je pro profil I, U a Z  
po zavedení vztahů (5.1)

$$I_k = \frac{1}{3} t^3 (2b + h) = \frac{1}{3} \frac{t^3}{h^3} (2 \frac{b}{h} + 1) h^4 = \\ = \frac{(2\xi + 1)}{3\eta^3} h^4 = c_1 h^4 \quad . \quad (5.2)$$

Pro ostatní průřezové veličiny profilu I dál platí

$$\omega_A = \frac{bh}{4} = \frac{h^2}{4} \cdot \frac{b}{h} = h^2 \frac{\xi}{4} = c_0 h^2 \quad , \quad (5.3)$$

$$I_\omega = \frac{th^2 b^3}{24} = \frac{\xi^3}{24\eta} h^6 = c_2 h^6 \quad , \quad (5.4)$$

$$\alpha_0 = \sqrt{\frac{I_k}{I_\omega}} = \frac{1}{h} \sqrt{\frac{c_1}{c_2}} = c_3 \frac{1}{h} \quad , \quad (5.5)$$

$$\alpha = \sqrt{\frac{GI_k}{EI_\omega}} = \frac{1}{h} \sqrt{\frac{c_1 G}{c_2 E}} = c_4 \frac{1}{h} \quad , \quad (5.6)$$

kde  $\alpha_0$  je konstanta nezávislá na vlastnostech materiálu a  
platí pro ni

$$\alpha_0^2 = \alpha \frac{E}{G} \quad . \quad (5.7)$$

Příslušné grafy pro odečtení konstant  $c_1$ ,  $c_2$ ,  $c_3$ ,  $c_4$   
 jsou na obr. 19, 20, 21, 22. Konstantu  $c_0$  pro profily I,  
 U a Z odečteme na obr. 18.

Pro profil U dostaneme opět průřezové veličiny jako  
 součin mocnin  $h$  a odečtených konstant  $c_2 \div c_4$  podle  
 následujících vztahů

$$\omega_A = \frac{h}{2} (b - e) = \left( \frac{\xi - e_0}{2} \right) h^2 = c_0 h^2 , \quad (5.8)$$

$$I_{\omega} = \frac{th^2}{6} [(b - e)^3 + e^3] + \frac{te^2 h^3}{12} = \\ = \frac{1}{12\eta} [e_0^2 (1 + 6\xi) + 2\xi^2 (\xi - 3e_0)] h^6 = \\ = c_2 h^6 , \quad (5.9)$$

$$c_0 = \sqrt{\frac{I_k}{I_{\omega}}} = \frac{2}{\eta} \sqrt{\frac{2\xi + 1}{[e_0^2 (1 + 6\xi) + 2\xi^2 (\xi - 3e_0)]}} \frac{1}{h} = \frac{c_3}{h} , \quad (5.10)$$

$$\alpha = \sqrt{\frac{GI_k}{EI_{\omega}}} = c_3 \sqrt{\frac{G}{E}} \frac{1}{h} = \frac{c_4}{h} , \quad (5.11)$$

kde délka  $e$  určuje polohu středu krutu K podle obr. 2;  
 pro  $e_0$  dále platí

$$e = \frac{3b^2}{h + 6b} = h e_0 = \frac{3\xi^2}{1 + 6\xi} h . \quad (5.12)$$

Příslušné grafy nalezneme na obr. 23, 24 a 25.

Podobně pro profil Z po zavedení vztahů (5.1) dostaneme

$$\omega_A = \frac{bh}{2} = \frac{\xi}{2} h^2 = c_0 h^2 , \quad (5.13)$$

$$I_\omega = \frac{tb^3 h^2}{12} \left( 2 - \frac{3b}{2b + h} \right) = \frac{\xi^3}{12\eta} \frac{(\xi + 2)}{(2\xi + 1)} h^6 = \\ = c_2 h^6 , \quad (5.14)$$

$$\alpha_0 = \sqrt{\frac{I_k}{I_\omega}} = \frac{2(\xi + 1)}{\eta \xi \sqrt{\xi(\xi + 2)}} \frac{1}{h} = \frac{c_3}{h} , \quad (5.15)$$

$$\alpha = \sqrt{\frac{GI_k}{EI_\omega}} = c_3 \sqrt{\frac{G}{E}} \frac{1}{h} = \frac{c_4}{h} , \quad (5.16)$$

Grafy  $c_2$ ,  $c_3$  a  $c_4$  jsou na obr. 26, 27 a 28.

Pomocí vztahů (5.1) lze vyjádřit průřezové veličiny pro libovolný tvar průřezu a posléze zpracovat do grafu.

Průřezové veličiny týkající se teorie zkusu a vyskytující se ve výrazu (4.36) vedou pro profil skládající se z rovných částí na jednoduché výrazy

$$S_{\gamma_i} = \rho_i t ,$$

$$\gamma_i = \frac{S_{\gamma(i)} + \Delta s_i - S_{\gamma(i)} - \Delta s_i}{S_{o_i}} ,$$

$$\beta = \sqrt{\frac{G}{E}} c_5 \frac{1}{h} = c_6 \frac{1}{h}$$

Příslušné grafy pro konstanty  $c_5$ ,  $c_6$  jsou na obr. 32 a 33 a lze je použít pro všechny tři jmenované profily.

### 5.2 Nahrazení výpočtu hlavní polární plochy $\omega$ a $I_\omega$ jednodušším způsobem

Zde uvedený návrh výpočtu hlavní polární plochy  $\omega_A$  a z ní vyplývajícího momentu tuhosti vůči deplanaci  $I_\omega$  byl inspirován řešením uvedeným v [10]. Zde se předpokládá, že ohyb přírub je provázený vznikem posouvajících sil  $T$  tvořících silovou dvojici  $T \cdot h$ . Rovnice rovnováhy pak je

$$M_k = G\delta I_k + Th \quad . \quad (5.18)$$

Pro ohyb v přírubě můžeme psát

$$\frac{dM_0}{dx} = T = - EI_{pz} w''' \quad ,$$

kde  $w$  je průhyb příruby ve směru osy  $y$  a  $I_{pz} = \frac{b^3 t}{12}$  je kvadratický moment plochy příruby k ose  $z$  podle obr. 2.

Pro úhel pootočení průřezu  $\varphi(x)$ , pro nějž platí

$$\dot{\vartheta} = \frac{d\varphi}{dx} \quad a \quad w(x) = \varphi(x) \frac{h}{2} \quad ,$$

dostaneme po dosazení do (5.18) diferenciální rovnici

$$M_k = GI_k \partial(x) - \frac{EI_{pz} h^2}{2} \partial''(x)$$

a po úpravě

$$\partial''(x) - \zeta^2 \partial^2 = - \zeta^2 \frac{M_k}{GI_k}, \quad (5.19)$$

kde

$$\zeta = \frac{1}{h} \sqrt{\frac{2GI_k}{EI_{pz}}} \quad (5.20)$$

je veličina nahrazující poměrnou tuhost  $\alpha$  v diferenciální rovnici stísněného krutu (3.3). Je závislá pouze na  $I_k$  a kvadratickém momentu plochy  $I_{pz}$ , což jsou běžné průřezové veličiny při namáhání na ohyb a krut.

Hodnota  $\zeta^2$  se shoduje s poměrnou tuhostí  $\alpha^2$  u profilu  $I$  se dvěma osami souměrnosti, kde hlavní polární plocha ve stojině je nulová a veškerá napětí  $\sigma$  a  $\tau_z$  podle deplanační teorie nesou pouze přírubu. Platí tedy rovnost

$$I_\omega = \frac{I_{pz} h^2}{2}$$

Dále jsou navrženy pro hlavní polární plochu  $\omega$  a  $I_\omega$  vztahy, v nichž velikost těchto veličin určíme rovněž pomocí známých veličin - kvadratických a statických momentů plochy přírubových a stojinových částí profilu, aniž by bylo vůbec třeba definovat  $\omega$ ,  $I_\omega$ . Vztahy jsou

vhodné pro průřezy skládajících se z rovných částí s jednou osou symetrie případně antisymetrické. Předpokládají znalost polohy středu krutu  $K$ .

Jejich sestavení vycházelo z představy o polární ploše  $\omega_1$  vytvořené ze středu krutu  $K$ . U profilů s osou symetrie je  $\omega_1$  totožné s hlavní polární plochou  $\omega$ .

Velikost hlavní polární plochy je v libovolném místě průřezu ( např. A )

$$\omega_A = y_A z_A - \frac{\sum S_{pz} z}{S} - \frac{\sum S_{sy} y}{S}, \quad (5.21)$$

kde  $S_{pz}$  je statický moment příslušné přírubové části profilu k ose z,

$S_{sy}$  je statický moment stojiny k ose y,

$S$  je celková plocha průřezu,

$z$ , příp.  $y$  je vzdálenost příruby ( stojiny ) od středu krutu  $K$ ,

$z_A$ ,  $y_A$  jsou průvodičové vzdálenosti místa A od středu krutu  $K$ ; jejich znaménko je dáno stejnými pravidly jako pro průvodič  $\rho$  ( viz kap. 5.1 ). Proto např. souřadnice y v bodě D profilu U mění znaménko. Druhý a třetí člen výrazu (5.21) značí korekci hodnoty  $\omega_A$  v případě, že  $\omega_1 \neq \omega$ . U průřezů s alespoň jednou osou symetrie jsou výrazy  $\sum S_{sy} y$ ,  $\sum S_{pz} z$  rovny nule.

Moment tuhosti vůči deplanaci lze určit ze vztahu

$$I_{\omega} = \sum I_{sy} y^2 + \sum I_{pz} z^2 - \frac{(\sum S_{pz} z)^2}{S} - \\ - \frac{(\sum S_{py} y)^2}{S} , \quad (5.22)$$

kde  $I_{sy}$  je kvadratický moment plochy stojinových částí profilu k ose y  
a  $I_{pz}$  je kvadratický moment plochy přírubových částí profilu k ose z ( $z'$ ).

Osy y a z ( $z'$ ) procházejí takovými místy průřezu, kde  $\omega_1 = \emptyset$  (obr. 2).

Aplikujeme-li vztahy (5.21) a (5.22) na profily I, L, Z, dostaneme pro profil I

$$\omega_A = \frac{b}{2} \frac{h}{2}$$

$$I_{\omega} = 2 \frac{b^3 t}{12} \left( \frac{h}{2} \right)^2 ,$$

pro profil U

$$\omega_A = \frac{h}{2} (-e + b) ,$$

$$I_{\omega} = \frac{h^3 t}{12} e^2 + 2 \left[ \frac{t e^3}{3} + \frac{t}{3} (-b - e)^3 \right] \left( \frac{h}{2} \right)^2 ,$$

a pro profil Z

$$\omega_A = \frac{hb}{2} - 2 \frac{b^2t}{2S} \frac{h}{2},$$

$$I_\omega = 2 \frac{b^3t}{2} \left( \frac{h}{2} \right)^2 - \frac{4}{S} \left( \frac{b^2t}{2} \frac{h}{2} \right)^2$$

Vztahy se shodují s výrazy pro  $\omega$ ,  $I_\omega$  uvedenými v [2].

Pokud bychom se chtěli obejít bez zjišťování polohy středu krutu  $K$ , lze u profilu  $C$  předpokládat, že  $e \approx \frac{b}{3}$ . Chyba výpočtu ve sledovaném rozsahu rozměrů, t. j. pro  $\frac{b}{h} \in \langle 0,2 \div 1 \rangle$ , činí maximálně 16% pro  $\omega_A$  a 9% pro  $I_\omega$ .

### 5.3 Vliv různých tloušťek jednotlivých částí profilu

Zatímco vztahy pro  $K_A$ , případně  $K_A(x)$  a charakteristické délky  $\ell_k$ ,  $\ell_s$  jsou universální pro libovolný tvar a rozměry profilu, zpracování těchto rozměrů do grafů pro vybrané profily I, U, Z bylo provedeno pro konstantní tloušťku  $t$  průřezu.

Má-li průřez v přírubě tloušťku  $t$  a ve stojině  $t_0$  ( $t > t_0$ ) sníží se velikost  $I_k$  a tedy zvýší  $\tau_0$  a  $\sigma_{red}$ . Tím se zmenší velikost špičky napětí dané součinitelem  $K_A$  i když absolutní hodnoty napětí mohou být vyšší než u průřezu s konstantní tloušťkou. Na obr. 29, 30 a 31 jsou porovnány součinitelé  $K_A$  vždy pro dvojici profilů I, U, Z o konstantní a nekonstantní tloušťce pro poměr  $t/t_0 = 2$ , což odpovídá např. vzájemným relacím tloušťek u válcovaných profilů podle ČSN. Z uvedených grafů je zřejmé, že špička napětí pro  $t > t_0$  je nižší a téměř

nepodstatná vůči  $\sigma_{red,0}$ . Použijeme-li tedy uvedené grafy pro výpočet  $K_A$  u profilu, kde  $t_0 < t$ , nanejvýš konstrukci poněkud předimenzujeme.

U teorie zkosu se tloušťka stojiny  $t_0$  v průřezových veličinách neprojeví, jak vyplývá ze vztahů (5.17) pro  $S_\gamma$ ,  $\gamma$ ,  $I_\rho$  a  $I_\gamma$ .

#### 5.4 Závislost $\gamma$ a $I_\gamma$ na způsobu přenosu normálného napětí

V literatuře uvádějící teorii zkosu, např. v [3], se předpokládá, že normálné napětí přenesou pouze výztuhy o ploše průřezu  $S_0$  zpevňující průřez, zatímco smyková napětí přenesou přírudy. Dále se uvádí, že pokud prut takové výztuhy nemá, přenesou se normálná napětí částí přírudy.

Zůstává otázka, jaká část přírudy se bude podílet na přenosu normálného napětí, na čemž závisí velikost poměrné plochy průvodiče  $\gamma$  a kvadratického momentu poměrné plochy průvodiče  $I_\gamma$ . Za tím účelem byly zpracovány dva výpočetní modely krouceného prutu o délkách  $\ell = 2h$  a  $\ell = 3h$  metodou konečných prvků. V exponovaném místě A profilu ve veknutí byly zjištěny hodnoty  $\sigma_{redA}$  a odtud určeno  $K_A = 0,387$  pro  $\ell = 2h$  a  $K_A = 0,571$  pro  $\ell = 3h$ . Oběma těmto hodnotám odpovídá ze vztahu (4.36) velikost  $\gamma \approx 2,5$ . Z definice  $\gamma$  je

$$\gamma = \frac{S_\gamma}{S_0} = \frac{ht}{2} \frac{1}{b_0 t}$$

a odtud

$$b_0 \cong 4 \text{ mm}$$

Lze předpokládat, že napětí se rozdělí zhruba po celé šířce příruby ( $\frac{b}{2} - \frac{t}{2} \cong 4,5 \text{ mm}$  v daném modelu o  $b = 10 \text{ mm}$  a  $t = 1 \text{ mm}$ ).

Má-li parametr  $\lambda$  diferenciální rovnice (4.39) u smíšené teorie nabýt rozumné velikosti, ukazuje se, že plocha  $S_0$  části příruby, o níž předpokládáme, že přenáší normálná napětí, musí být značně menší, než jsme předpokládali v teorii zkusu. To odpovídá představě, že tímto způsobem se přenese jen část  $\sigma_\gamma$  z celkového normálného napětí  $\sigma$ .

Vyjdeme-li z podmínky, že kořeny diferenciální rovnice jsou reálná čísla, pak mezní hodnota šířky  $b_0$  „fiktivní výztyhy“ ( $S_0 = b_0 t$ ) vychází ze vztahu  $I_\gamma \rightarrow \frac{I^2}{I_\omega}$  podle (3.51). Odtud např. pro profil I platí  $b_0 \rightarrow b/6$ . Pro takovou hodnotu platí, že  $\lambda \rightarrow \alpha$ .

## 6. Použití MKP na rozbor napjatosti

Vybrané modely byly řešeny pomocí uživatelského programu TPS 10.

Veškeré modely mají průřez ve tvaru I o rozměrech  $b = 10 \text{ mm}$ ,  $h = 20 \text{ mm}$ ,  $t = 1 \text{ mm}$ . Při aplikaci bylo použito obdélníkových prvků o rozměrech  $(t \times b/2 \times n_0)$  v přírubě a  $(t \times h/2 \times n_0)$  ve stojině. Třetí rozměr prvku je  $n_0 = h/2$  po celé délce prutu kratších a u prutu o délce  $\ell = 15h$  v okolí obou konců prutu; ve střední časti prutu, kde je napjatost stabilizována, je délka prvku trojnásobná. Zatížení krouticím momentem  $M_k = 1,05 \cdot 10^{-7} \text{ MNm}$  bylo rozděleno do tří uzlů stojiny posledního průřezu o velikostech  $M_k/3$ . Dlouhé pruty jsou uloženy podle obr. 1a, kratší podle obr. 1b. Tím se odstraní vliv místních špiček napětí v okolí působiště  $M_k$ , které by u krátkých prutů ovlivnily nezanedbatelnou část průběhu napětí po délce. V místě vетknutí byly předepsány nulové posuvy ve směrech souřadných os  $u_x$ ,  $u_y$ ,  $u_z$  a nulová pootočení kolem těchto os. V místě opření (obr. 1b) je předepsán nulový posuv  $u_x$  a nulové pootočení kolem os  $y$ ,  $z$ .

Odečítána byla redukovaná napětí, případně byly výsledky přepočítány na součinitele napjatosti  $K$  pro libovolné místo průřezu či pro okraj příruby ( $K_A$ ). Délky prutů byly vybrány tak, aby obsáhly všechny intervaly výpočtu podle jednotlivých teorií. Pro délku modelu  $\ell = 15h$  platí  $\ell > \ell_k$ , pro délku  $\ell = 2h$  platí

$\ell < \ell_s$  a pro délky  $\ell = 3h$  a  $\ell = 5h$  pak  $\ell_s < \ell < \ell_k$ . V příslušných intervalech bylo provedeno srovnání výsledků MKP s jednotlivými teoriemi především v exponovaném místě A, ale bylo možno provést diskusi o napjatosti v celém tělese ( viz obr. 11, 16 a 35 a kap. 4.3, 4.5 a 4.6 ). Pomocí modelu o délce  $\ell = 2h$  a  $\ell = 3h$  byla také stanovena velikost průřezových veličin  $\gamma$  a  $I_\gamma$ .

#### 6.1 Vliv zpevnění

Srovnáván byl model o konstantním průřezu o délce  $\ell = 15h$  a model zpevněný v místě veknutí podle obr. 38.

Redukovaná napětí pro krajní vlákna přírudy po délce obou prutů jsou vynesena na obr. 39. Z jejich průběhu je možno usoudit, že zpevnění sice výrazně sníží namáhání ve veknutí, avšak špička napětí se objeví poblíž místa přechodu zpevněné části do přírudy o konstantní tloušťce a je v podstatě stejně velikosti. Zpevnění by bylo třeba navrhнуть tak, aby změna tvaru v místě B byla šetrnější ( např. zmenšení poměru  $b_1/b$ , případně jiným tvarováním hrany AB ).

Pootočení nezpevněné tyče vypočteme ze vztahu

$$\varphi(x) = \frac{M_k}{cGI_k} [ \operatorname{tgh} \alpha \ell ( \cosh \alpha x - 1 ) - \sinh \alpha x + \alpha x ] \quad . \quad (6.1)$$

Pro volný konec platí

$$\varphi(\ell) = \frac{M_k}{\alpha G I_k} [\alpha \ell - \tgh \alpha \ell] = 0,0239 \text{ rad} \quad . \quad (6.2)$$

Pootočení ve zpevněném prutu odhadneme pro zkrácenou délku prutu  $\bar{\ell} \cong \ell - \ell^*/2$ . Potom je  $\varphi(\bar{\ell}) \cong 0,0224 \text{ rad}$ .

Na volném konci nezpevněného modelu podle MKP byl zjištěn posuv místa uprostřed přírudy ve směru osy  $y$   $u_y = 0,215 \text{ mm}$ , na zpevněném modelu  $u_y = 0,209 \text{ mm}$ . Potom  $\varphi(\ell) \cong \tgh \varphi(\ell) = \frac{2u_y}{h} = 0,0215 \text{ rad}$  pro nezpevněný prut a  $\varphi(\ell) = 0,0209 \text{ rad}$  pro zpevněný prut. Zpevnění zde představuje zmenšení deformace o  $\sim 3\%$ .

Výsledky výpočtu podle (6.2) a podle MKP se liší o  $\sim 11\%$ .

## 6.2 Vliv tuhosti vetknutí

Pro sledování vlivu „nedokonalého“ vetknutí byl zaveden model podle obr. 40 a to ve dvou variantách provedení průřezu části CD. Varianta 2 má průřez ve tvaru I o rozměrech  $(b_1 \times h_1 \times t_1) = (20 \times 40 \times 2) \text{ mm}$ , varianta 3 pak má obdélníkový průřez  $(t_2 \times h_2) = (1 \times 20) \text{ mm}$ ; délka obou je  $2\ell_5 = 240 \text{ mm}$ . Část AB má průřez I o rozměrech  $(b \times h \times t) = (10 \times 20 \times 1) \text{ mm}$ , a délka  $\ell = 300 \text{ mm}$  u obou variant. Varianta 4 je upravenou variantou 2 se zpevněním stejným jako na obr. 38. Srovnání se děje s prutem AB tuho vetknutým v místě A (1). Zatěžující kroutící moment je  $M_k = 1,05 \cdot 10^{-7} \text{ MNm}$ .

Deformaci prutu AB podle deplanační teorie ( neboť  $\ell$

$> \ell_k >$  lze popsat:

$$\varphi(x) = \varphi(0) + \frac{\partial(\theta)}{\alpha} \sinh \alpha x - \frac{B(\theta)}{GI_k} (\cosh \alpha x - 1) -$$

$$- \frac{M_k}{\alpha GI_k} (\sinh \alpha x - \alpha x) \quad (6.3)$$

$$\partial(x) = \partial(0) - \cosh \alpha x - B(\theta) \frac{\alpha}{GI_k} \sinh \alpha x -$$

$$- \frac{M_k}{GI_k} (\cosh \alpha x - 1) \quad (6.4)$$

a dále

$$B(x) = - \partial(0) \frac{GI_k}{\alpha} \sinh \alpha x + B(\theta) \cosh \alpha x + \frac{M}{\alpha} \sinh \alpha x \quad , \quad (6.5)$$

$\varphi(0)$  a  $\partial(0)$  jsou pootočení a poměrný zkrut v místě A, který je dán deformací části CD konstrukce. Bimoment  $B(\theta)$  určíme z okrajové podmínky  $B(\ell) = 0$ :

$$B(\theta) = \frac{\tgh \alpha \ell}{\alpha} [ GI_k \partial(\theta) - M_k ] \quad . \quad (6.6)$$

Napětí v místě spoje A jsou :

$$\sigma_A(\theta) = \frac{\omega_A}{I_\omega} B(\theta) = \frac{\omega_A}{I_\omega} \frac{\tgh \alpha \ell}{\alpha} [ GI_k \partial(\theta) - M_k ] \quad , \quad (6.7)$$

$$\tau_1(\theta) = G t \theta(\theta)$$

Hodnoty napětí  $\tau_i(\theta)$  jsou zanedbatelné, hodnoty  $\sigma_A(\theta)$  se zmenšující se tuhostí veknutí (části CD) poněkud klesají. V tab. I jsou uvedeny hodnoty napětí v místě spojení A pro eventuality 1 + 4 a zároveň hodnoty  $\sigma_A(\theta)$  vypočtené podle (6.7) pro příslušné  $\theta(\theta)$  odečtené z modelu MKP. Zajímavý je průběh napětí na modelu 3. V místě spoje B je zde odečteno napětí  $\sigma_A \approx 10,4$  MPa, avšak špička napětí ( $\sigma_{\max} \approx 16,3$  MPa) vzniká ve vzdálenosti  $\approx h$  od spoje, což je zřejmě způsobeno větší poddajnosti části CD. Průběh napětí  $\sigma_{redA}$  rohu příruby po délce prutu AB pro jednotlivé eventuality je vynesen na obr. 41.

Tab. I

		1	2	3	4
$\sigma_A(\theta)$ MPa	MKP	17,0	16,7	$\sigma_{\max} = 16,3$ $\sigma_A = 10,4$	15,5
	teorie depl.	18,1	14,2	9,4	

Po dosazení za  $B(\theta)$  z (6.6) dostaneme pro deformaci

$$\varphi(x) = \varphi(0) + \frac{\partial(\theta)}{\alpha} [ \sinh \alpha x - \operatorname{tgh} \alpha \ell \operatorname{cosh} \alpha x - 1 ] +$$

$$+ \frac{M_k}{\alpha G I_k} [ \operatorname{tgh} \alpha \ell \operatorname{cosh} \alpha x - 1 ] -$$

$$= (\sinh \alpha x - \alpha x) ] , \quad (6.8)$$

$$\partial(x) = \partial(\theta) (\cosh \alpha x - \tgh \alpha \ell \sinh \alpha x) +$$

$$+ \frac{M_k}{GI_k} (\tgh \alpha \ell \sinh \alpha x - \cosh \alpha x + 1) .$$

Na volném konci v místě B je

$$\varphi(\ell) = \varphi(\theta) + \frac{\partial(\theta)}{\alpha} + \frac{M_k}{\alpha GI_k} [\alpha \ell - \tgh \alpha \ell] , \quad (6.9)$$

$$\partial(\ell) = \frac{\partial(\theta)}{\cosh \alpha \ell} + \frac{M_k}{GI_k} (1 - \frac{1}{\cosh \alpha \ell}) .$$

Pro eventualitu 1, kdy  $\varphi(\theta) = 0$ ,  $\partial(\theta) = 0$  vypočteme podle (6.9)  $\varphi(\ell) = 0,0296$  rad,  $\partial(\ell) = 0,0976 \text{ m}^{-1}$ . Odtud je deplanace  $u = u_x = \omega_A \partial(\ell) = 0,488 \cdot 10^{-5} \text{ m}$ . Pootočení  $\varphi(\ell)$  (příp.  $\varphi(\theta)$ ) získáme pomocí posuvu  $u_y$ , kde platí  $u_y = \frac{h}{2} \varphi$ . Posuvy  $u_x$ ,  $u_y$  odečteme na modelech MKP. Hodnoty takto získané jsou uvedeny v tab. II pro místa větknutí (příp. spoje A) a pro volný konec B.

Tab. II

	1	2	3	4
$\varphi(\theta)$ [rad]	0	$0,032 \cdot 10^{-3}$	$0,115 \cdot 10^{-3}$	$0,018 \cdot 10^{-3}$
$\varphi(\ell)$ [rad]	$0,215 \cdot 10^{-1}$	$0,233 \cdot 10^{-1}$	$0,283 \cdot 10^{-1}$	$0,229 \cdot 10^{-1}$
$u_x(\theta)$ [mm]	0	$0,105 \cdot 10^{-5}$	$0,347 \cdot 10^{-5}$	$0,09 \cdot 10^{-5}$
$u_x(\ell)$ [mm]	$0,464 \cdot 10^{-5}$	$0,511 \cdot 10^{-5}$	$0,411 \cdot 10^{-5}$	$0,501 \cdot 10^{-5}$

Velikost pootočení  $\varphi(\theta)$  je ve všech případech hodnota velmi malá, což vyplývá z velké ohybové tuhosti části CD, kde

$$\varphi_A \cong \frac{M_k \ell}{8EI_{CD}}$$

$I_{CD}$  je kvadratický moment plochy průřezu části CD k neutrálné ose ( $I_{CD,2} = 42,67 \cdot 10^{-9} \text{ m}^4$ ,  
 $I_{CD,3} = 5,33 \cdot 10^{-9} \text{ m}^4$ ).

Deplanace  $\varphi$  na volném konci B jsou, jak je zřejmé ze vztahu (6.9), závislé i na  $\theta(\theta)$ , (tedy posuvu  $u_x$ ). Tento posuv se objeví v části CD jako důsledek snahy po deplanaci průřezu A a může být uvažován jako deformace od krutu části CD, či složitější deformace „deskové“ části okolí spoje, případně jako následek místních špiček napětí způsobených náhlou změnou tvaru v místě spoje.

## 7. Aplikace výpočtu na konstrukční prvky rámu podvozku

### LIAZ 124.040

Tato problematika byla řešena v [16] jako první odhad výpočtu rámu podvozku automobilu LIAZ 124.040. V této kapitole se budeme zabývat pouze pevnostní kontrolou příček rámu, které jsou namáhány na stísněný krut a na něž lze výpočet uvedený v kap. 4 aplikovat.

Rám podvozku je svařen ze dvou podélníků profilu U spojených sedmi příčkami různých tvarů průřezů (obr. 42). V místě spojení podélníků s příčkami se přenášejí do příček kroutící momenty způsobené celkovým namáháním rámu a jeho deformací v místech spoje, dominantní je při tom namáhání rámu při přejezdu po terénních nerovnostech, které jsou nesouměrné vzhledem k svislé rovině procházející podélnou osou vozidla. Dojde tedy k vzájemnému natočení osy přední a zadní nápravy. Z celkového statického řešení podle [16] byly získány hodnoty krouticích momentů  $M_{k_i}$  na jednotlivé příčky.

Průřez příček 1 až 3 podle obr. 42 má tvar tenkostěnné trubky. U prutu takového průřezu stísněný krut nevzniká. Příčky jsou tedy namáhány volným krutem. Naopak u příček 4 + 7, vyrobených z ohýbaných plechů o průřezech ve tvaru úhelníků se stísněný krut uplatní.

Uložení příček lze předpokládat podle obr. 1b. Není sice dokonale tuhé ( $\varphi \neq 0$ ), avšak vzhledem k tuhosti

podélníků je možno uvažovat nulovou deplanaci koncových průřezů. Uložení můžeme spíše považovat za opření, což je z hlediska okrajových podmínek pro výpočet napětí totéž. Délka prutu mezi průřezem s nulovou deplanací a průřezem, kde  $B = 0$  je  $\ell = p/2$ , kde  $p$  je délka příčky. Zatížení příček kroutícími momenty je vzato z [16].

Příčka 6 má délku  $p = 670 \text{ mm}$ , je prizmatická o průřezu I a rozměrech  $b = 160 \text{ mm}$ ,  $h = 229 \text{ mm}$ ,  $t = 6 \text{ mm}$ ,  $t_o = 12 \text{ mm}$  (tloušťka stojiny). Průřezové veličiny jsou:  $I_k = 1,55 \cdot 10^{-7} \text{ m}^4$ ,  $\rho = h/2 = 0,114 \text{ m}$ ,  $\gamma = 1,49$ ,  $I_\rho = 2,61 \cdot 10^{-5} \text{ m}^4$ ,  $I_\gamma = 4,08 \cdot 10^{-3} \text{ m}^2$ . Dále vypočteme podle vztahu (4.24) parametr  $\beta = 0,59 \text{ 1/m}$ . Pak platí

$$\ell_s = \frac{0,61}{\beta} = 1,03 \text{ m} .$$

Délka prutu  $\ell \cong p/2 = 0,334 \text{ m}$  a tedy  $\ell < \ell_s$ . Napjatost v prutu budeme hodnotit podle teorie zkusu. Podle vztahu (4.36) vypočteme  $K_A = 0,182$  a pro  $\tau_o = 200 \text{ MPa}$  podle (4.2) (je-li  $M_k = 5,17 \cdot 10^{-3} \text{ MNm}$ ) konečně dostaneme

$$\sigma_A = K_A \sqrt{3} \tau_o = 63 \text{ MPa} .$$

Toto napětí působí v průřezech příčky, které nedeplanují. Příčka 7 má délku  $p = 694 \text{ mm}$  a je zpevněna, jak je zřejmé z obr. 42, na délku  $p_7 = 220 \text{ mm}$ . Průřez má tvar podle obr. 42 o rozměrech  $b = 77 \text{ mm}$ ,  $h = 217 \text{ mm}$ ,  $t = 6 \text{ mm}$ ,

$b_1 = 90 \text{ mm}$ ,  $h_1 = 157 \text{ mm}$ ,  $t_1 = 5 \text{ mm}$ . Vypočteme průřezové veličiny  $I_k = 9,11 \cdot 10^{-8} \text{ m}^4$ ,  $\rho = 0,108 \text{ m}$ ,  $\rho_1 = 0,078 \text{ m}$ ,  $I_\rho = 1,014 \cdot 10^{-5} \text{ m}^4$ ,  $\gamma = 1,53$ ,  $\gamma_1 = 0,93$ ,  $I_\gamma = 2,72 \cdot 10^{-3} \text{ m}^2$ . Dále podle vztahu (4.24) je  $\beta = 0,958 \text{ 1/m}$  a charakteristická délka  $\ell_s = 0,636 \text{ m}$ . Protože délka prutu  $\ell = p/2 = 0,346 \text{ m}$ , platí opět  $\ell < \ell_s$ . Podle teorie zkusu vypočteme  $K_A = 0,281$ . Je-li krouticí moment působící na příčku  $M_k = 1,27 \cdot 10^{-3} \text{ MNm}$ , je  $\tau_0 = 84 \text{ MPa}$ . Spička napětí dosahuje hodnoty

$$\sigma_A = K_A \sqrt{3} \tau_0 = 41 \text{ MPa} .$$

V tomto výpočtu jsme uvažovali, že příčka je prismatická v průřezu jako ve střední části podle obr. 42. Můžeme také uvažovat, že příčka je v místech podepření plechy vетknutá, pak je její délka  $p_7$ . Potom vyjde  $K_A = 0,178$  a  $\sigma_A = 26 \text{ MPa}$ . Skutečná hodnota bude ležet mezi těmito dvěma hodnotami.

Příčka 4 má délku  $p = 662 \text{ mm}$ , průřez ve tvaru I, který je ve střední části plynule zeslaben. Tento tvar s plynule proměnným průřezem nahradíme symetricky umístěným osazením (náhlou změnou průřezu). Rozměry neoslabené části průřezu jsou ( $b \times h \times t$ ) = ( $83 \times 197 \times 6$ ) mm a zeslabené části ve středu příčky ( $b \times h_1 \times t$ ) = ( $83 \times 129 \times 6$ ) mm, její délka  $2p_4 = 196 \text{ mm}$ . Příčka je zatížena  $M_k = 5,72 \cdot 10^{-3} \text{ MNm}$ .

Vzhledem k tomu, že uprostřed příčky je  $B = 0$ , budeme

řešit její polovinu ( $\ell = p/2$ ) o různých průřezech délky  $p_4$  a  $p_0$  ( $\frac{p}{2} - p_4$ ). Zavedeme souřadnice  $x_1$  od místa spoje pro část o délce  $p_0$  a  $x_2$  od středu příčky pro část o délce  $p_4$ . Lze napsat

$$B_{\gamma 2}(\emptyset) = 0 \quad ,$$

$$B_{\gamma 1}(\emptyset) = M_k \quad , \quad (7.1)$$

$$B_{\gamma 1}(p_0) = B_{\gamma 2}(p_4) \quad .$$

Bimomenty v jednotlivých částech prutu jsou

$$B_{\gamma 1}(x_1) = M_k(x_1 - p_0) + B_{p1} \quad ,$$

$$B_{\gamma 2}(x_2) = -M_k(x_2 - p_4) + B_{p2} \quad .$$

Z podmínek (7.1) určíme

$$B_{p2} = -M_k p_4 = B_{p1} \quad .$$

Potom je

$$B_{\gamma 1}(x_1) = M_k(x_1 - p_0 - p_4) \quad ,$$

(7.2)

$$B_{\gamma 2}(x_2) = -M_k x_2 \quad .$$

V exponovaných místech dostaneme

$$B_{\gamma_1}(\emptyset) = - M_k (p_0 + p_4) = - 0,711 \cdot 10^{-3} \text{ MNm}^2 ,$$

$$B_{\gamma_2}(\emptyset) = - M_k p_4 = - 0,516 \cdot 10^{-3} \text{ MNm}^2 .$$

Vypočteme napětí v přírubě v místě spoje

$$\sigma_1(\emptyset) = \frac{B_{\gamma_1}(\emptyset) \gamma_1}{I_{\rho_1}} = 112 \text{ MPa} ,$$

$$\tau_{2,1}(\emptyset) = \frac{M_k \rho_1}{I_{\rho_1}} = 27 \text{ MPa}$$

a

$$\sigma_{\text{red},1} = \sqrt{\sigma_1(\emptyset)^2 + 3 \tau_{2,1}^2(\emptyset)} = 122 \text{ MPa} .$$

V místě osazení v zeslabeném průřezu je

$$\sigma_2(p_4) = \frac{B_{\gamma_2}(p_4) \gamma_2}{I_{\rho_2}} = 52 \text{ MPa} ,$$

$$\tau_{2,2}(p_4) = \frac{M_k \rho_2}{I_{\rho_2}} = 41 \text{ MPa}$$

a

$$\sigma_{\text{red},2} = 88 \text{ MPa} .$$

Průřezové veličiny pro oba průřezy jsou  $I_{k_1} = 13,73 \cdot 10^{-8} \text{ m}^4$ ,  $I_{k_2} = 9,82 \cdot 10^{-8} \text{ m}^4$ ,  $\rho_1 = 0,098 \text{ m}$ ,  $\rho_2 = 0,065 \text{ m}$ ,  $\gamma_1 = 1,28$ ,  $\gamma_2 = 0,84$ ,  $I_{\rho_1} = 1,93 \cdot 10^{-5} \text{ m}^4$ ,  $I_{\rho_2} = 0,83 \cdot 10^{-5} \text{ m}^4$ ,  $I_{\gamma_1} = 3,02 \cdot 10^{-3} \text{ m}^2$ ,  $I_{\gamma_2} = 1,3 \cdot 10^{-3} \text{ m}^2$ .

Ověřme si správnost použití vztahů podle teorie zkosu. Vypočteme  $\beta_1 = 0,65 \text{ 1/m}$ ,  $\beta_2 = 0,84 \text{ 1/m}$ . Pak výjde

$$\ell_s = \frac{0,61}{\beta_1} = 0,94 \text{ m} > \frac{p}{2} = 0,332 \text{ m}$$

a

$$\ell_s = \frac{0,61}{\beta_2} = 0,73 \text{ m} > \frac{p}{2} .$$

Použijeme-li výpočet podle kap. 3 pak vždy pro prut o délce dané vzdálenosti exponovaného průřezu a průřezu, který se chová jako volný konec (střed příčky). Pak pro zeslabenou část příčky ( $\ell = p_4$ ) dostaneme  $\tau_{02} = 322 \text{ MPa}$ ,

$$K_{A_2} = \frac{I_{k_2}}{\sqrt{3 t I_{\rho_2}}} \sqrt{(p_4 \gamma_2)^2 + 3 \rho_2^2} = 0,158$$

a výsledné napětí v přírubě je  $\sigma_2 = 88 \text{ MPa}$ . Pro nezeslabenou část ( $\ell = p/2$ ) dostaneme  $\tau_{01} = 230 \text{ MPa}$ ,  $K_{A_1} = 0,312$  a  $\sigma_1 = 122 \text{ MPa}$ .

Příčka 5 má délku p = 693 mm a je opět ve střední části zeslabena plynule proměnným průřezem. Nahradíme jej opět

osazenním o průřezu s rozměry (160 × 160 × 8) mm a délce  $2p_5 = 126$  mm. Nezeslabený průřez má rozměry (160 × 247 × 8) mm. Příčka je zatižena  $M_k = 7,14 \cdot 10^{-3}$  MNm. Příslušné průřezové veličiny jsou  $I_{k1} = 3,84 \cdot 10^{-7}$  m<sup>4</sup>,  $I_{k2} = 2,68 \cdot 10^{-7}$  m<sup>4</sup>,  $\rho_1 = 0,123$  m,  $\rho_2 = 0,08$ ,  $\gamma_1 = 1,72$ ,  $\gamma_2 = 1,11$ ,  $I_{\rho 1} = 3,87 \cdot 10^{-5}$  m<sup>4</sup>,  $I_{\rho 2} = 1,64 \cdot 10^{-5}$  m<sup>4</sup>,  $I_{\gamma 1} = 6,82 \cdot 10^{-3}$  m<sup>2</sup>,  $I_{\gamma 2} = 2,84 \cdot 10^{-3}$  m<sup>2</sup>. Odtud určíme  $\beta_1 = 0,822$  1/m,  $\beta_2 = 1,098$  1/m a ověříme vhodnost použití teorie zkusu.

$$\ell_s = \frac{0,61}{\beta_1} = 0,742 \text{ m} > \frac{p}{2} = 0,346 \text{ m}$$

$$\ell_s = \frac{0,61}{\beta_2} = 0,582 \text{ m} > p_5 = 0,063 \text{ m}$$

Pro zeslabený průřez v místě osazení vypočteme ( $\ell = p_5$ )  $\tau_{02} = 348$  MPa,  $K_{A2} = 0,155$  a  $\sigma_2 = 93$  MPa. Pro průřez nezeslabený je uvažovaná délka  $\ell = \frac{p}{2} = 0,346$  m a dále  $\tau_{01} = 149$  MPa,  $K_{A1} = 0,452$  a  $\sigma_1 = 116$  MPa.

V práci [16] bylo pro pevnostní kontrolu příček použito deplanační teorie, neboť nebyly ještě navrženy rovnice pro výpočet charakteristických délek  $\ell_s$ ,  $\ell_k$ . Celý výpočet se tím dostává do pozměněné podoby, protože změny se objeví i ve výpočtu tuhostí příček podle této teorie, které vstupují do řešení staticky neurčité konstrukce rámu. Výpočet tuhostí podle obou teorií se rovněž liší.

## 8. Závěr

Hlavní úsilí v této práci bylo věnováno vytvoření jednoduchého návrhu výpočtu namáhání tenkostěnných kroucených prutů otevřeného průřezu, který by sloužil k pevnostní kontrole, návrhu dimenzování průřezu prutu, případně jeho optimalizaci. Jednotlivé teorie, které jsou pro daný způsob namáhání k dispozici, znamenají zabývat se touto problematikou podroběji. Zde uvedený návrh výpočtu je zamýšlen především jako pomocka pro běžnou pevnostní kontrolu.

Dosavadní možnosti orientačního výpočtu je výpočet podle Komentáře k ČSN 73 1401 [7], který vychází ze zjednodušené diferenciální rovnice stísněného krutu a protože dává výsledky namáhání několikanásobně vyšší, je upraven podle prací [8], [9]. I tento výpočet vede k předimenzování konstrukce.

Navržený způsob výpočtu vychází z přesného řešení stísněného krutu, přičemž v prutu takto namáhaném vzniká normálné napětí a druhotné a prvotní smykové napětí. Výpočet vyhodnocuje celkovou napjatost konkrétního místa prutu zavedením součinitele napjatosti  $K(x,s)$  definovaného jako poměr redukovaného napětí daného místa při stísněném krutu k redukovanému napětí od volného krutu  $\sigma_{red,0}$ . V práci je použita pevnostní podmínka H-M-H, ale vztah je možno jednoduše upravit na libovolnou pevnostní podmínu podle chování materiálu. Výpočet

napětí  $\tau_0$  od volného krutu je snadný.

Jednoduchost návrhu se projeví právě pro místa prutu, která nás při pevnostní kontrole zajímají, t. j. průřezy v uložení a ta místa v průřezech, které nesou největší namáhání. Pro tato exponovaná místa se výraz pro součinitel napjatosti

$$K_A = \frac{\sigma_A}{\sigma_{\text{red}, 0}}$$

značně zjednoduší a stane se závislým pouze na geometrických rozměrech průřezu, materiálových konstantách, případně délce prutu.

Zádná z teorií, popisující stav při stiskněním krutu není dostatečně přesná v celém rozsahu jeho délky. V literatuře se při odkazu na jednotlivé teorie uvažuje většinou pouze délka prutu. Ve skutečnosti však záleží na vzájemném vztahu délky a charakteristických veličin průřezu, tedy na rozměrech a tvaru průřezu. V práci jsou určeny t. zv. charakteristické délky prutu  $\ell_s$ ,  $\ell_k$ , které jsou dány právě geometrií průřezu prutu a které rozdělují oblast výpočtu na oblast podle teorie smyku ( $\ell \leq \ell_s$ ), podle teorie deplanace ( $\ell \geq \ell_k$ ) a podle teorie smíšené ( $\ell_s < \ell < \ell_k$ ). Přitom skutečná délka prutu se s délkou  $\ell$  váže podle způsobu uložení prutu (obr. 1).

Podle jednotlivých teorií jsou pro exponované místo určeny vztahy pro součinitele napjatosti  $K_A$ . Vztah je universální pro pruty uložené v libovolné kombinaci

vetknutí, opření a volného konce. Omezení je dáno zatížením; zde byly uvažovány osamělé momenty. Vzorový nástin výpočtu je uveden v kap. 4.7.

Pro smíšenou teorii je navržen nový tvar funkce bimomentu  $B(x)$ , který popisuje lépe průběh napjatosti v oblasti délek  $\ell_s < \ell < \ell_k$ , než řešení uvedené v literatuře (např. [3]), zvláště pro délky, pro než platí  $\ell \rightarrow \ell_k$ .

Pro jednotlivé teorie výpočtu a pro výpočet podle [7] bylo provedeno srovnání napjatosti v exponovaném okraji přírub po celé délce prutu. Toto bylo konfrontováno s průběhem napjatosti zjištěným na výpočtových modelech pomocí metody konečných prvků. Touto metodou byla dále zkoumána napjatost v okolí zpevněného vetknutí prutu a v okolí nedokonalého vetknutí, které umožňuje jistou deformaci místa uložení. V obou případech lze říci, že špičky napětí se u zpevněného i netuhého vetknutí poněkud posunou z místa vetknutí, ale jejich velikost se změní poměrně málo.

Ačkoli zde byla zjednodušena ta část výpočtu, která se týká řešení diferenciální rovnice, zůstává pracnost řešení průřezových veličin. V kap. 5 jsou uvedeny zásady k alespoň částečnému zjednodušení výpočtu některých průřezových veličin běžných průřezů. Pro průřezy U, I, Z jsou některé průřezové veličiny zpracovány graficky.

V závěru práce je provedena aplikace návrhu výpočtu na některé prvky rámu podvozku automobilu LIAZ 124.040.

Práce je doplněna grafickým zpracováním velikosti součinitelů napjatosti  $K_A$  a charakteristických délek v závislosti na rozměrech průřezu u běžných profilů I, Z, U.

### Použitá literatura

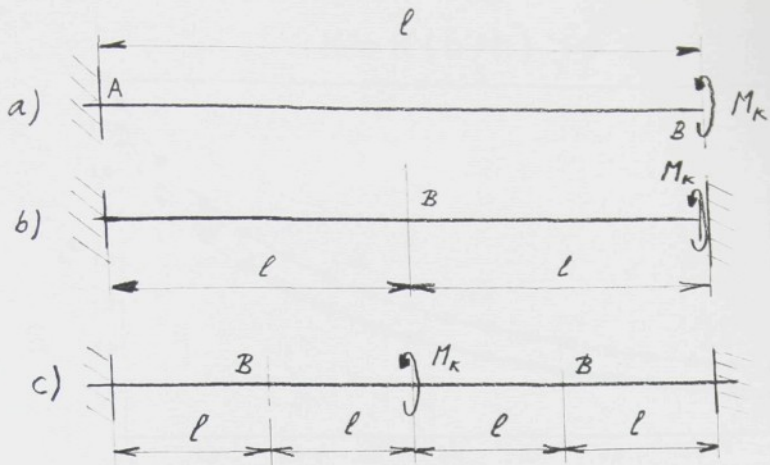
- [1] VLASOV, V.Z.: Tenkostenné pružné pruty. Praha, SNTL 1962.
- [2] JANATKA, J.: Přímé tenkostenné nosníky. Praha, SNTL 1961.
- [3] KLIMOV, V.I.: Rasčet otkrytych oboloček tipa aviakonstrukcij. Moskva, Gosudar. izd. oborovoj promyšlennosti 1957.
- [4] ČALKOVSKÝ, A.: Tenkostenné konstrukce IV. Praha, Dům techniky ČSVTS, 1983.
- [5] ČALKOVSKÝ, A.: Kroucení tenkostenných konstrukcí. Kandidátská disertační práce. Brno, VAAZ 1965.
- [6] Navrhování ocelových konstrukcí. ČSN 73 1401. Praha, Vydavatelství Úřadu pro normalizaci a měření, 1984.
- [7] CHALUPA, A. a kol.: Navrhování ocelových konstrukcí. Komentář k ČSN 73 1401. Praha, Vydavatelství Úřadu pro normalizaci a měření, 1982.
- [8] MELCHER, J.: Modifikovaná analogie kroucení tenkostenných prutů s ohybem. Inženýrské stavby, 1967, č. 6, s. 269-273.
- [9] MELCHER, J.: Přibližný výpočet kroucených tenkostenných prutů. Inženýrské stavby, 1968, č. 6,

- [10] HÖSCHL, C.: *Pružnost a pevnost ve strojírenství*.  
Praha, SNTL 1971.
- [11] ODEN, J.T.: *Mechanics of Elastic Structures*. New York, Mc Graw-Hill Book Company, 1967.
- [12] TIMOŠENKO, S.P.: *Ob ustojčivosti ploskoj formy izgiba dvutavrovoj balki*. Izvěstija S. Pb. Politechn. instituta 1905.
- [13] WEBER, C.: *Übertragung des Drehmoments in Balken mit doppelflanschigem Querschnitt*. Zeitv. für Angew. Math. und Mech. 1926.
- [14] WAGNER, H. - PRETSCHNER, W.: *Verdrehung und Knickung von offenen Profilen*. Luftfahrtforschung 1934, Bd. 11, Nr. 6.
- [15] UMANSKIJ, A.A.: *Kručenije i izgib tonkostennych aviakonstrukcij*. Moskva, Oborongiz 1939.
- [16] MEVALD, J. - JAGROVÁ, J.: *Analýza vlivu parametrů uložení skříně na podvozku LIAZ 124.040*. (Výzkumná zpráva). Liberec, 1989.
- [17] ČALKOVSKÝ, A.: *K výpočtu rozložení napětí v tenkostenné konstrukci*. Brno, Sborník VAAZ, ř. B, 1977.

- [18] TIHOSHENKO, S. - GOODIER, J.N.: Theory of Elasticity. New York, Mc Graw-Hill B. Company, 1951.
- [19] MRAZIK, A. - GRUSKA, J.: Výpočet tenkostenných prútov. Bratislava, Vydavatelstvo slovenskej akademie vied, 1965.
- [20] COLLATZ, L.: Problémy charakteristických hodnot s technickými aplikacemi. Praha, SNTL 1965.
- [21] KUZMIN, N.A. - LUKAS, P.A. - MILEJEVSKIJ, I.E.: Rasčet konstrukcij iz tonkostennych stěržnej i oboloček. Moskva, Gos. izd. liter. po strojiteľstve, architektúre i stroj. materiálam, 1960.
- [22] HYČA, M.: Výpočet polohy středu smyku otevřených průřezů tenkostenných nosníků při uvažování vlivu snykových deformací střednicové plochy. Liberec, Čs. společnost pro mechaniku, pub. Liberec, 1987.
- [23] HYČA, M.: Některé problémy optimalizace tenkostenných nosníků a jejich řešení. Plzeň, Strojnická společnost CSVTS, k.p. Škoda, 1987.
- [24] GOLDSTEJN, J.B. - SOLOMESC, M.A.: Variacionnyje zadači statiky optimalnych stěržněvych sistem. Leningrad, Izd. leningrad. universiteta, 1980.
- [25] MILEJEVSKIJ, I.E. - TRUŠIN, S.I.: Rasčet tonkostennych konstrukcij. Moskva, Strojizdat 1989.

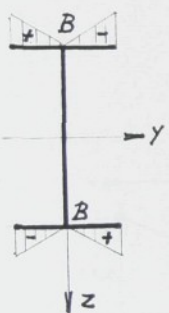
[26] JÄGROVÁ, J.: Vliv délky tyče na tuhost a napětí při stísněném krutu. Liberec, Sborník prací VŠST, 1989.

[27] JÄGROVÁ, J.: Návrh výpočtu napjatosti při stísněném krutu pomocí součinitele koncentrace napětí. Liberec, Sixth International Conference on the Theory of Machines and Mechanisms, 1992.



Obr. 1

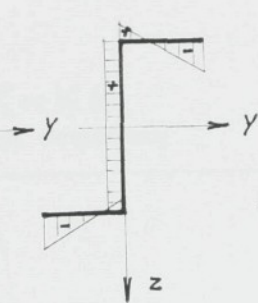
$$\omega = \omega_1$$



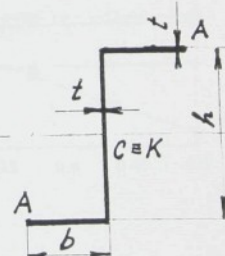
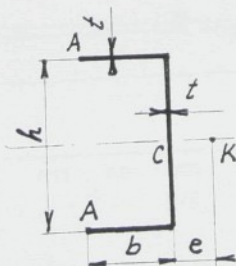
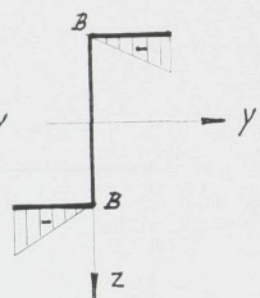
$$\omega = \omega_1$$



$$\omega$$

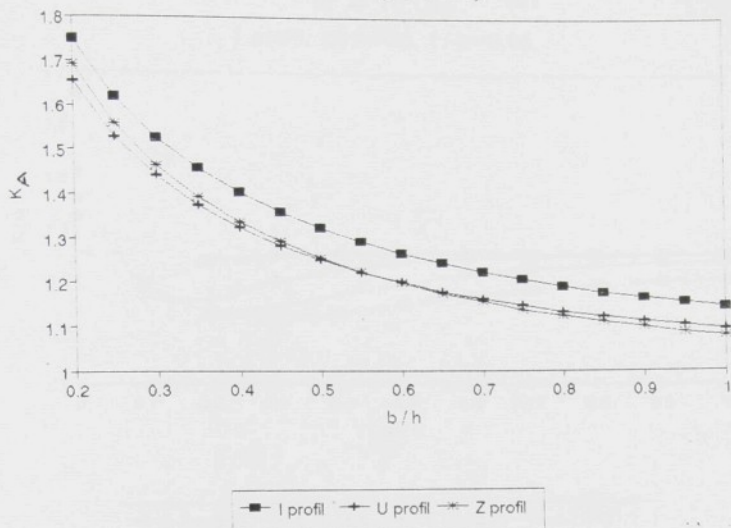


$$\omega_1$$



Obr. 2

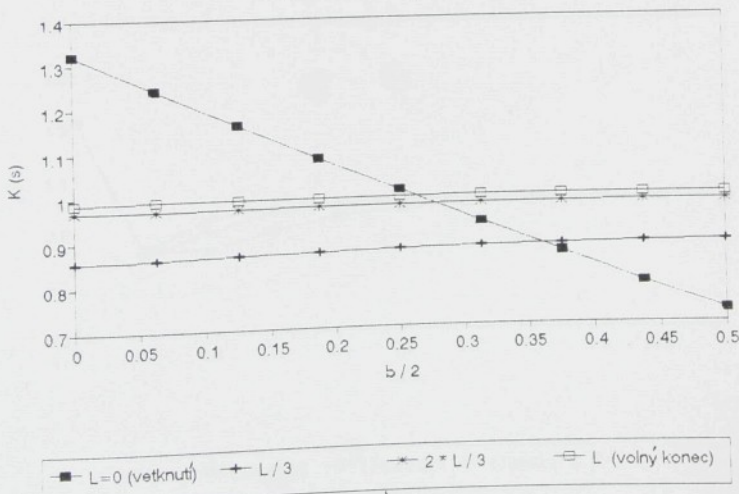
$$K = K(b/h)$$



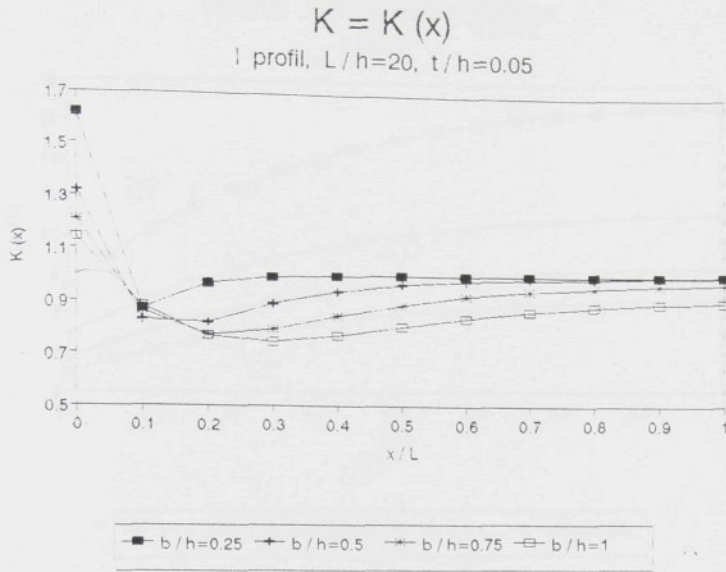
Obr. 3

$$K = K(s)$$

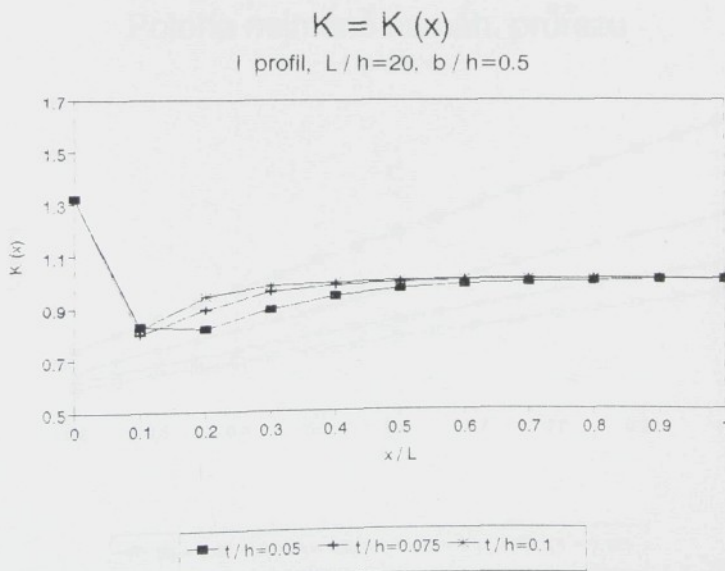
I profil, okraj příruba



Obr. 4

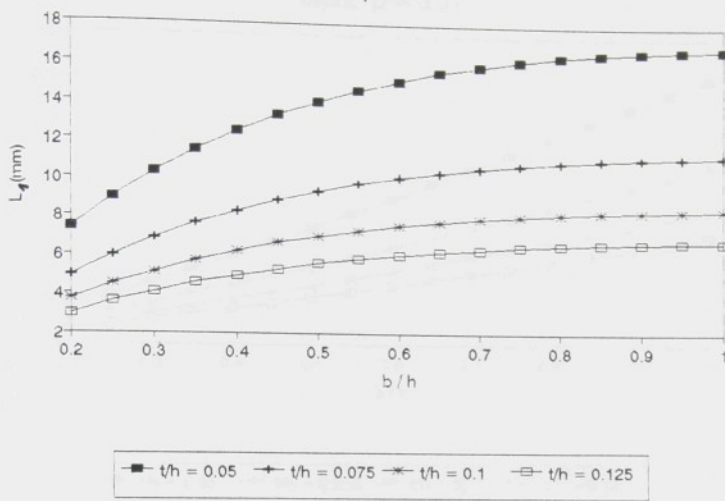


Obr. 5



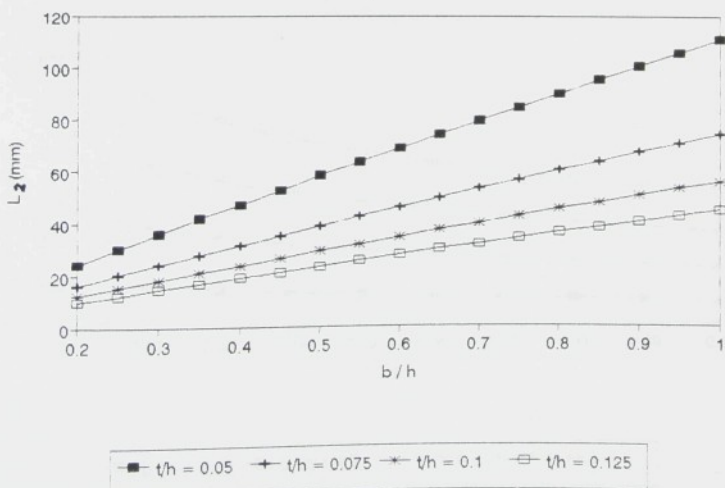
Obr. 6

## Délka uplatnění vrubu I profil

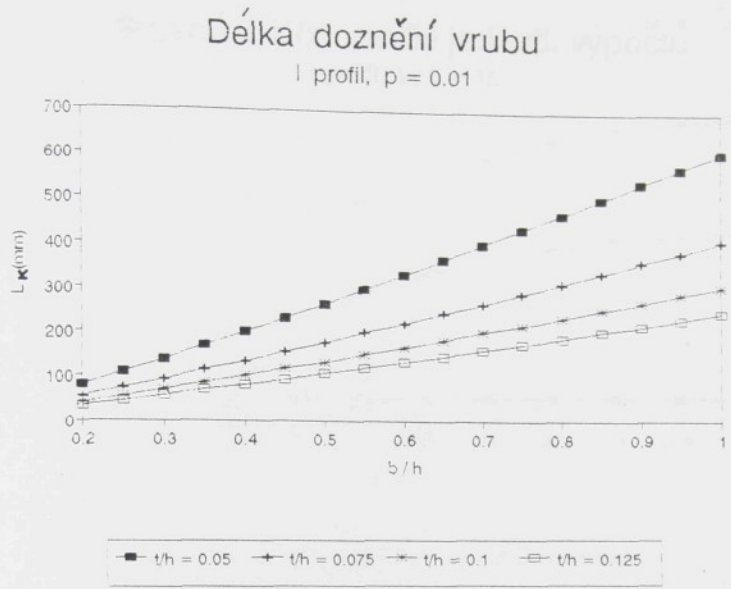


Obr. 7

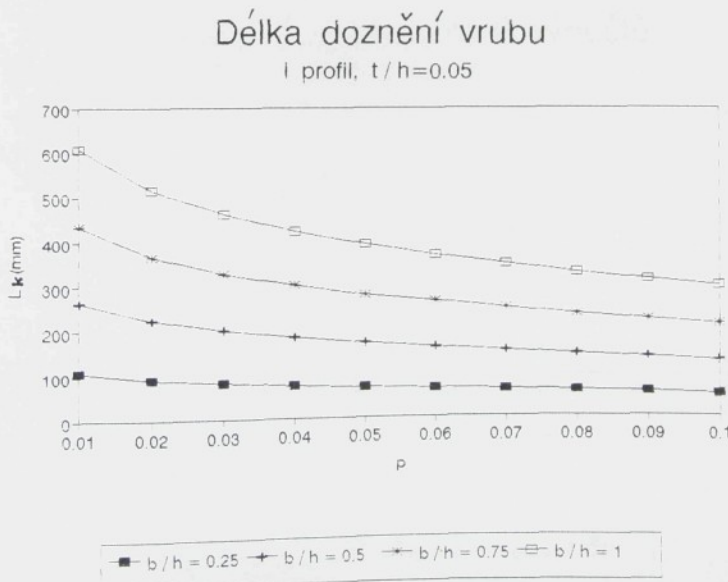
## Poloha nejméně namáh. průřezu I profil



Obr. 8

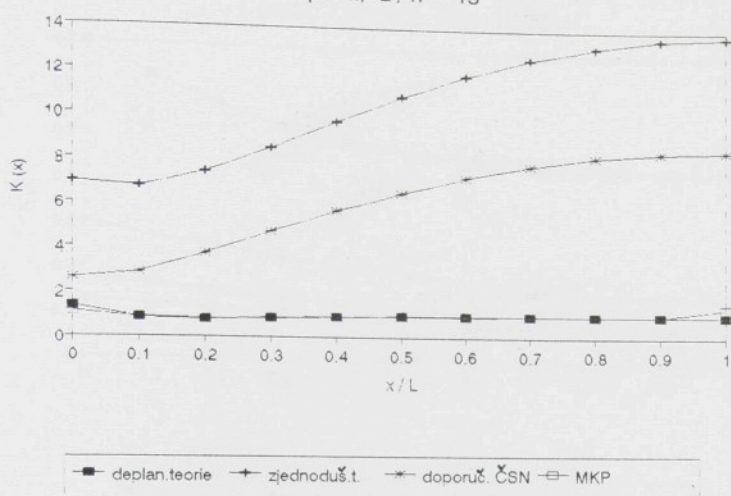


Obr. 9



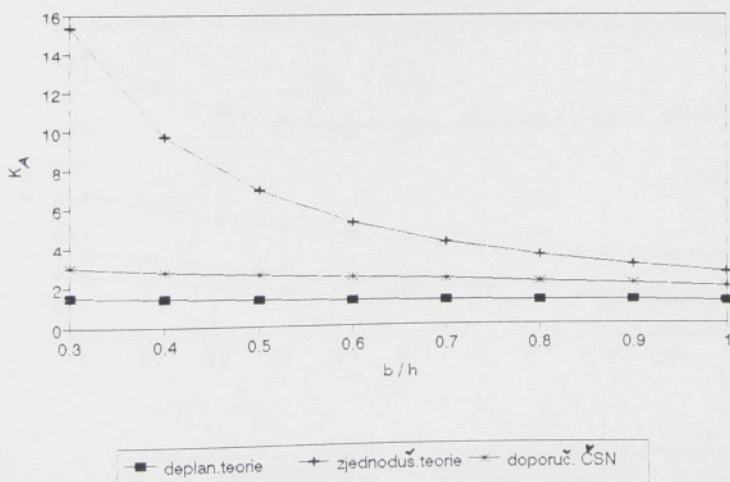
Obr. 10

Srovnání  $K(x)$  podle jednotl. výpočtů  
I profil,  $L/h = 15$

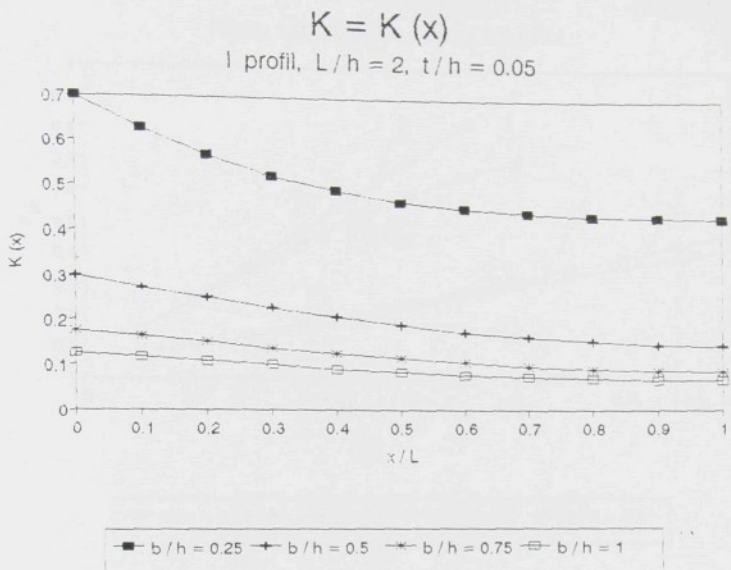


Obr. 11

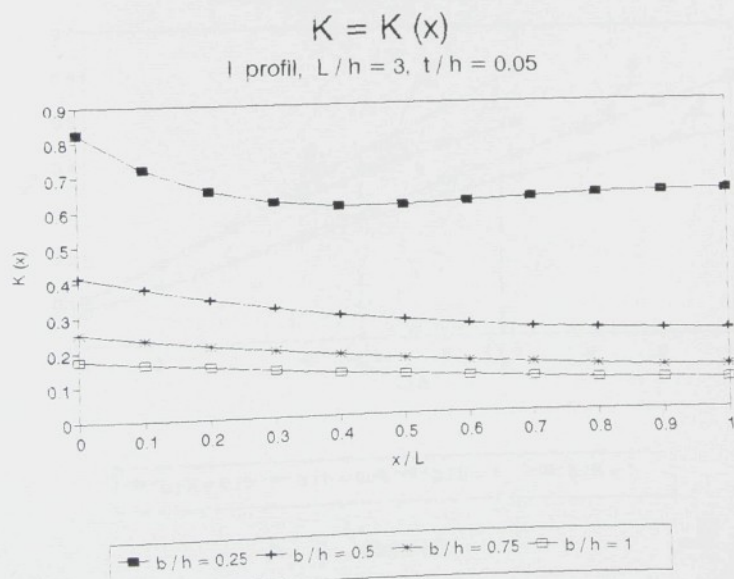
Srovnání  $K_A$  podle jednotl. výpočtů  
I profil,  $L/h = 15$



Obr. 12



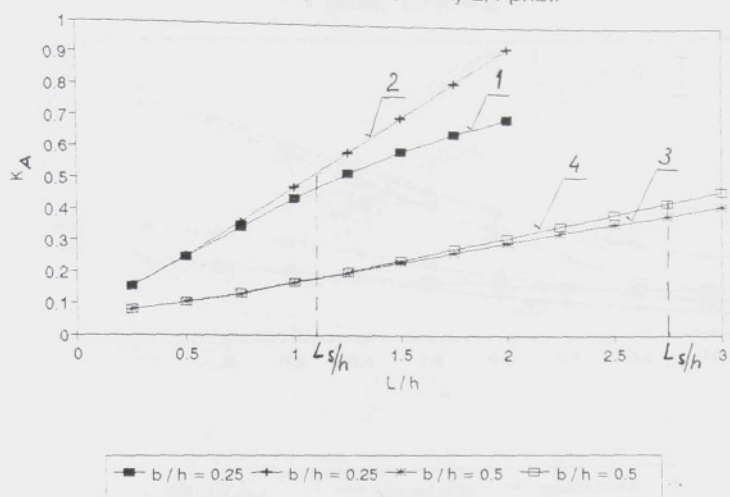
Obr. 13



Obr. 14

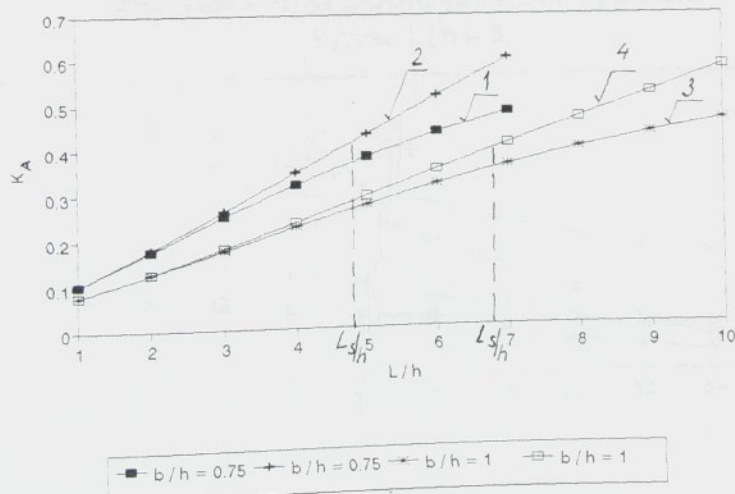
$$K = K(L)$$

křivky 1,3 přesná t., křivky 2,4 příbl.



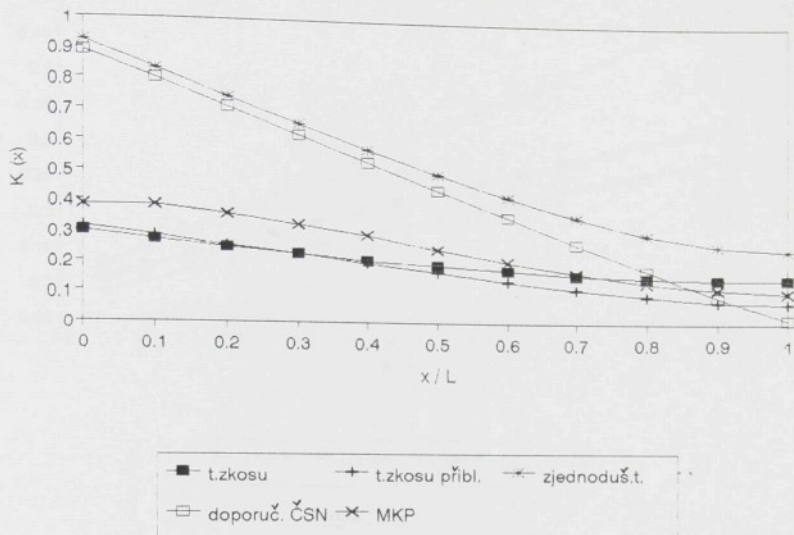
$$K = K(L)$$

křivky 1,3 přesná t., křivky 2,4 příbl.



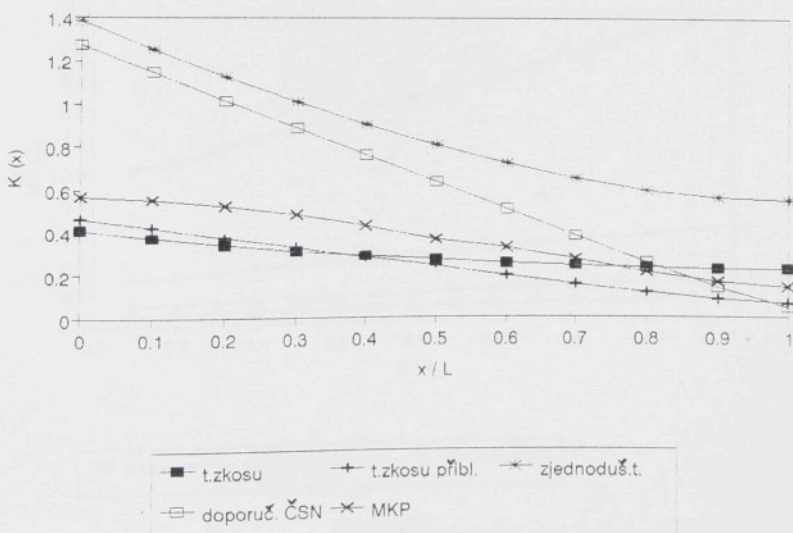
Obr. 15

Srovnání  $K(x)$  podle jednotl. výpočtů  
I profil,  $L / h = 2$

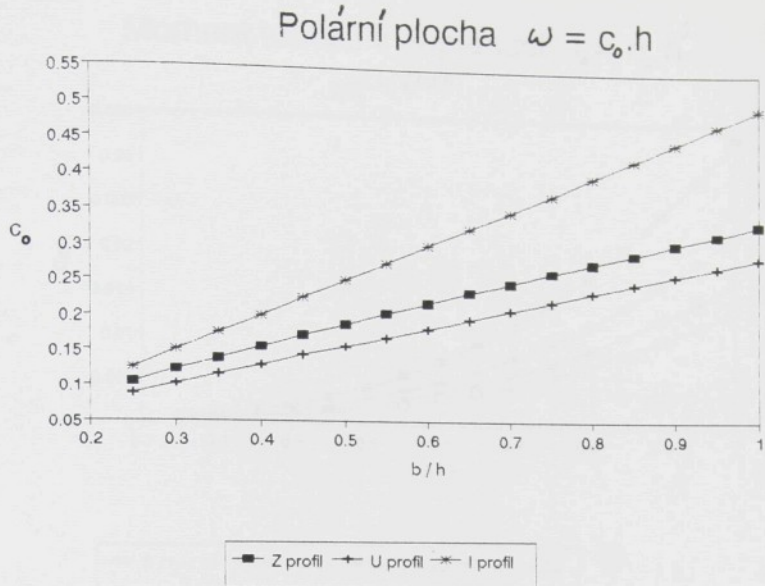


Obr. 16

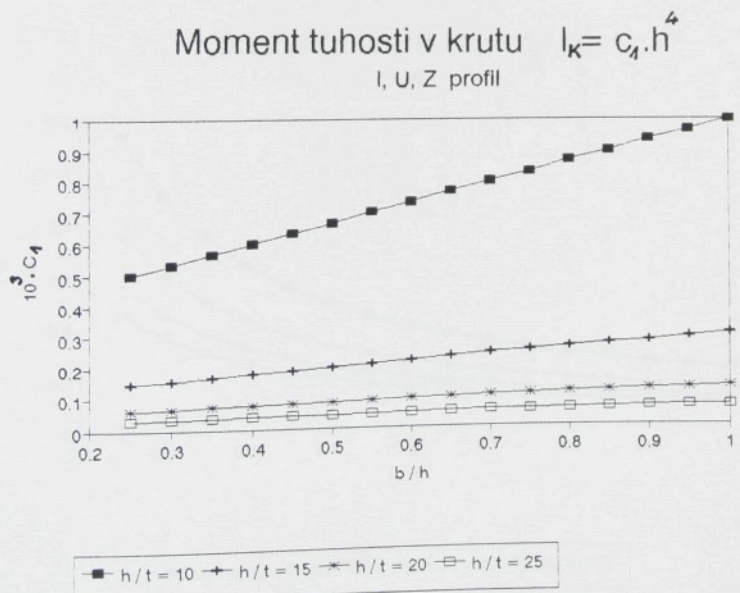
Srovnání  $K(x)$  podle jednotl. výpočtů  
I profil,  $L / h = 3$



Obr. 17

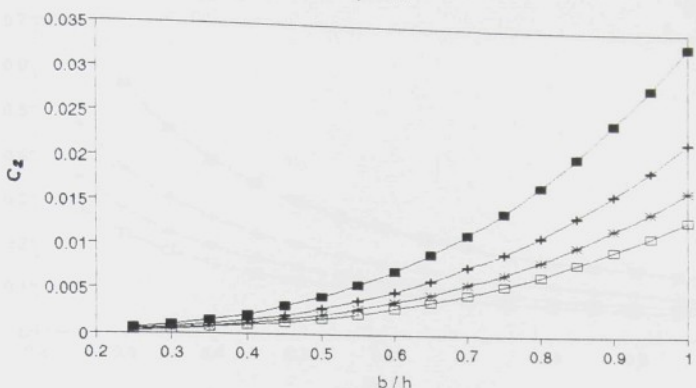


Obr. 18



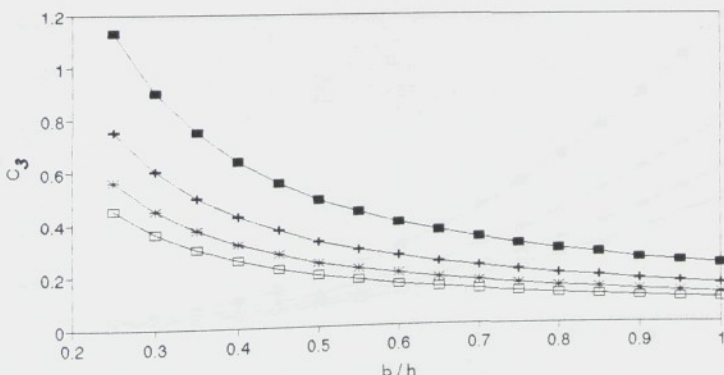
Obr. 19

Moment tuhosti v deplanaci  $I_w = c_2 \cdot h^6$   
I profil



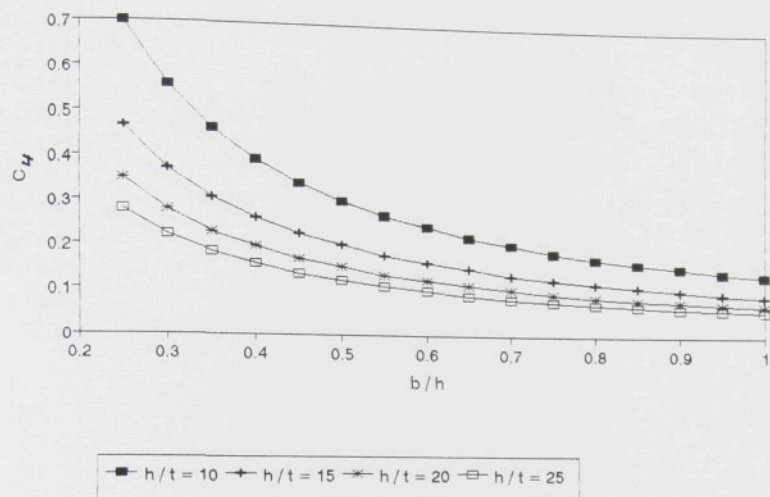
Obr. 20

Konstanta tvaru  $\alpha_0 = c_3 / h$   
I profil



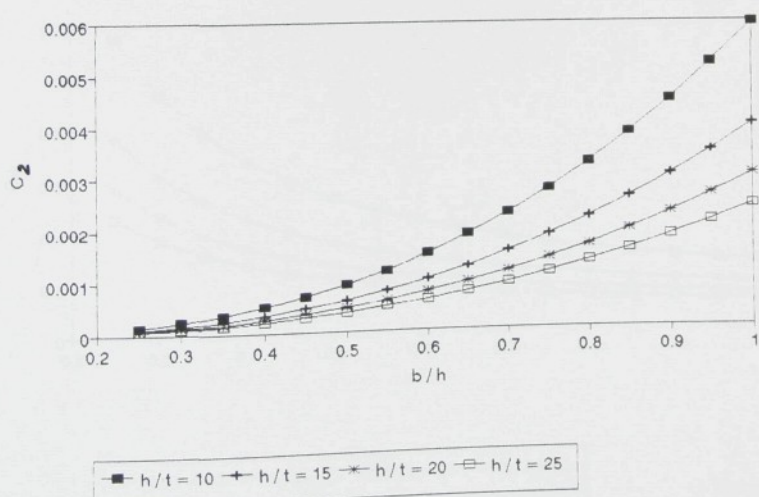
Obr. 21

Poměrná tuhost  $\alpha = c_u / h$   
I profil, ocel



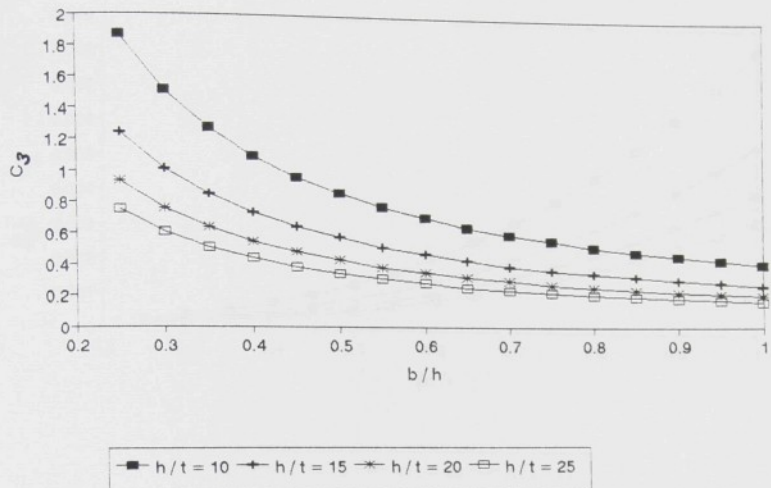
Obr.22

Moment tuhosti v deplanaci  $I_\omega = c_z \cdot h^6$   
U profil



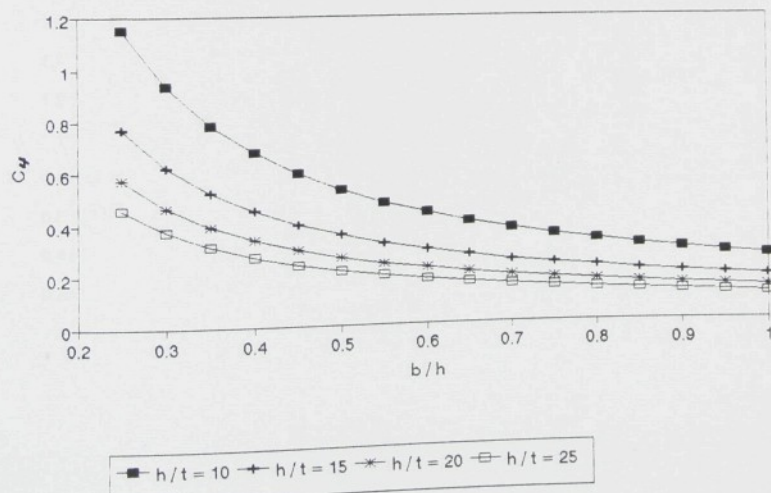
Obr.23

Konstanta tvaru  $\alpha_0 = c_3/h$   
U profil



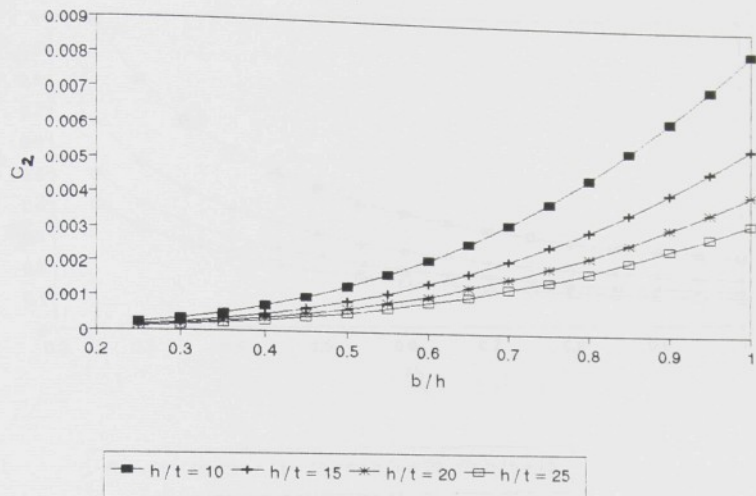
Obr. 24

Poměrná tuhost  $\alpha = c_4/h$   
U profil, ocel



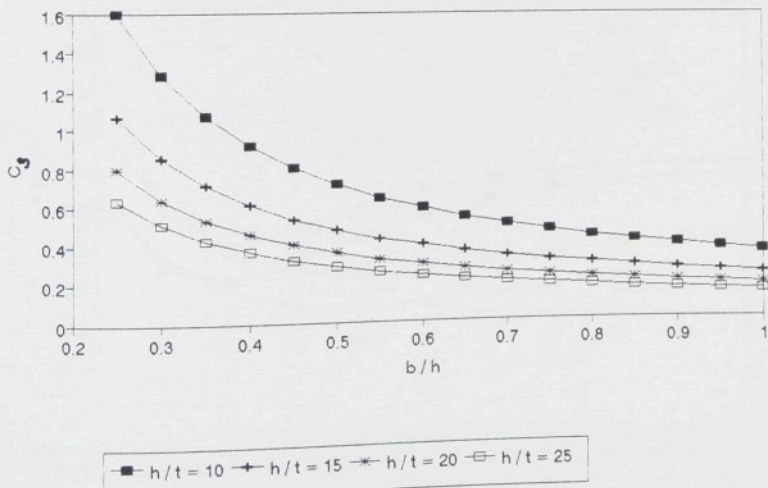
Obr. 25

Moment tuhosti v deplanaci  $I_\omega = c_2 \cdot h^6$   
 Z profil



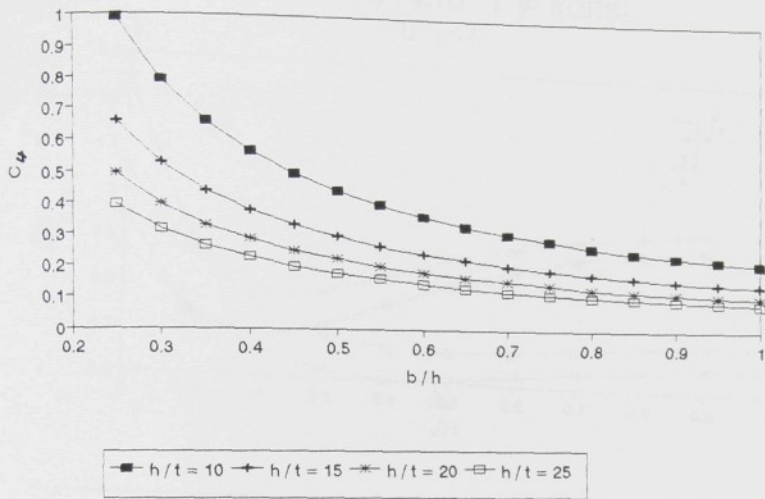
Obr. 26

Konstanta tvaru  $\alpha_o = c_3/h$   
 Z profil



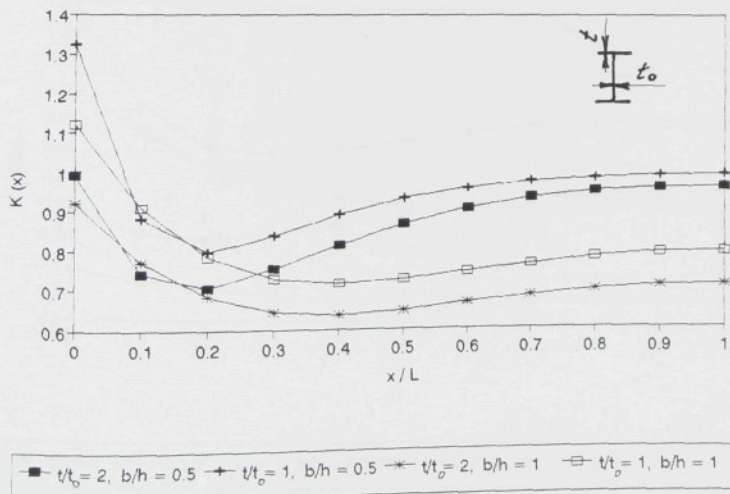
Obr. 27

Poměrná tuhost  $\alpha = c_y / h$   
 Z profil, ocel



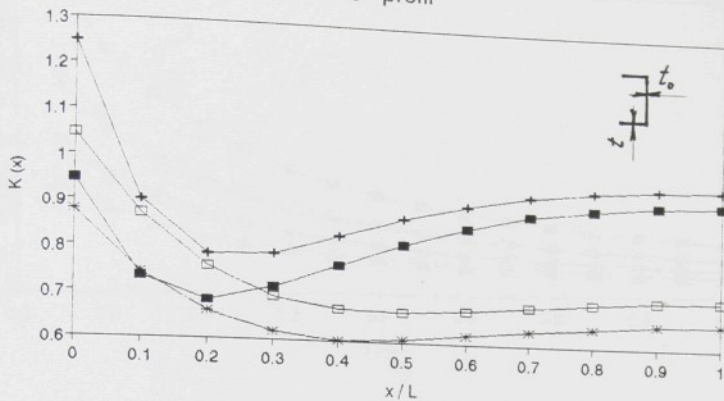
Obr. 28

$K = K(x)$  pro  $t \neq \text{konst.}$   
 I profil



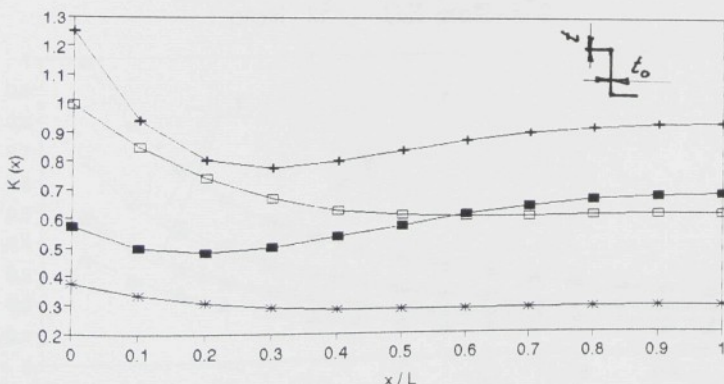
Obr. 29

$K = K(x)$  pro  $t \neq \text{konst.}$   
 $U$  profil



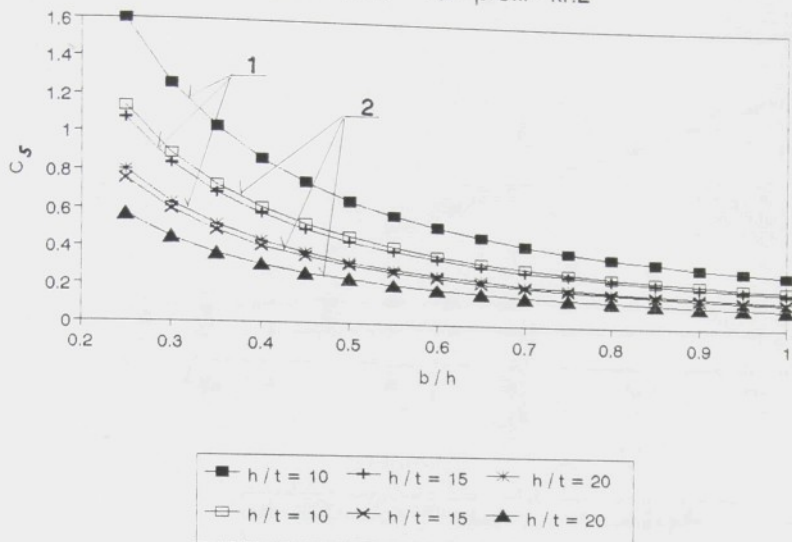
Obr. 30

$K = K(x)$  pro  $t \neq \text{konst.}$   
 $Z$  profil



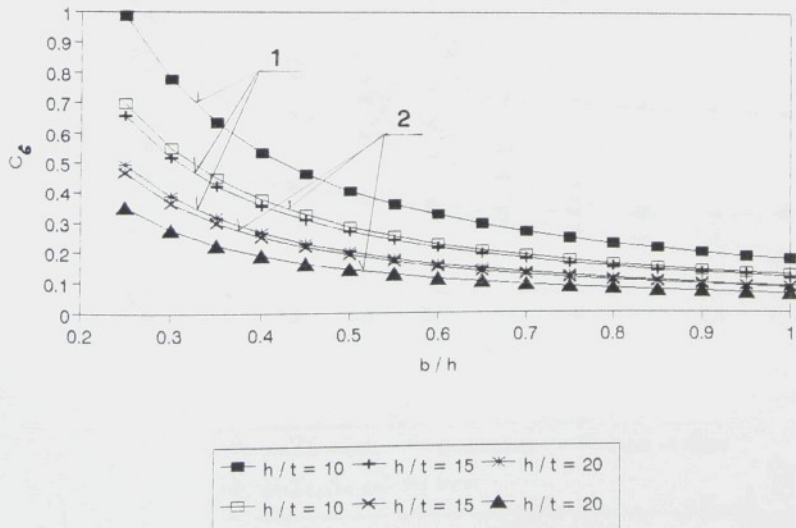
Obr. 31

Konstanta tvaru podle t.zkosu  $\beta_0 = c_5/h$   
 I profil - kř.1, U,Z profil - kř.2



Obr. 32

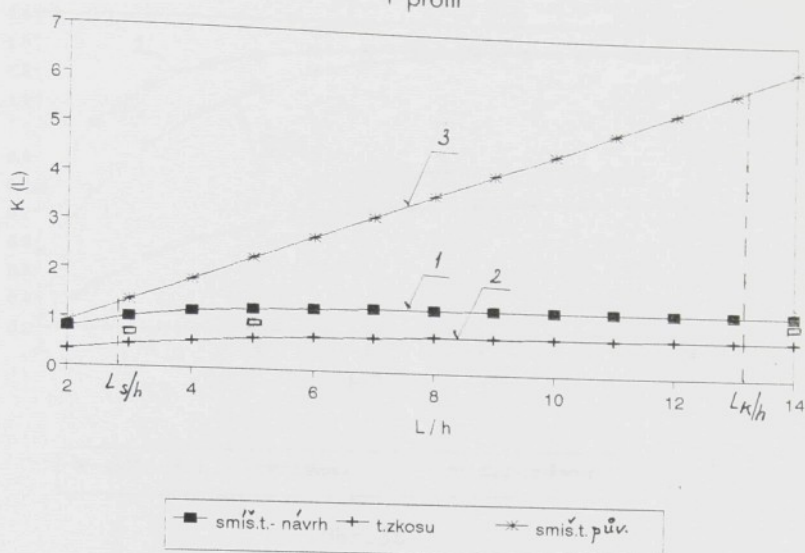
Poměrná tuhost podle t.zkosu  $\beta = c_6/h$   
 I profil - kř.1, U,Z profil - kř.2



Obr. 33

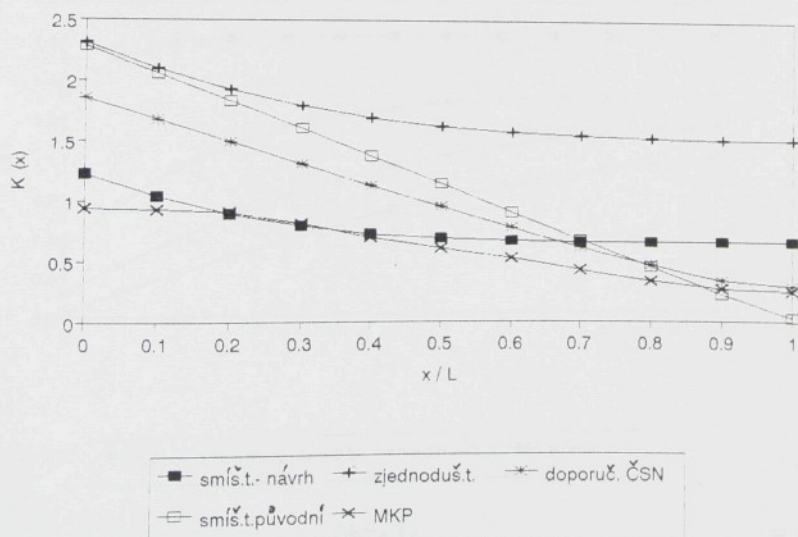
$$K = K(L)$$

I profil



Obr. 34

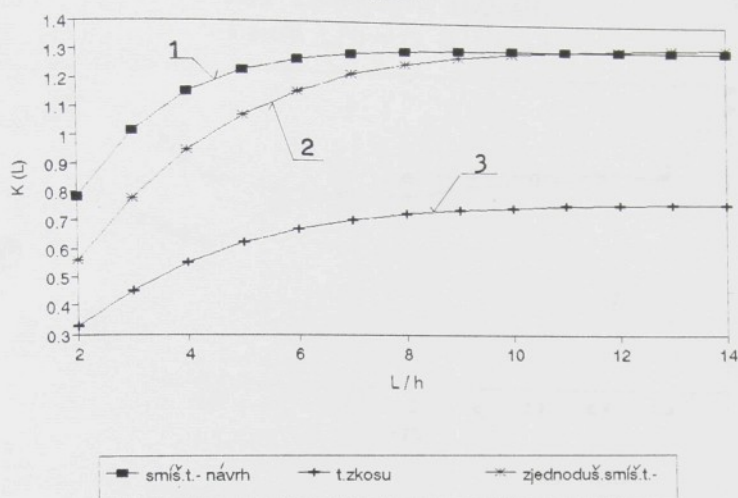
Srovnání  $K(x)$  podle jednotl. výpočtů  
I profil,  $L/h = 5$



Obr. 35

$$K = K(L)$$

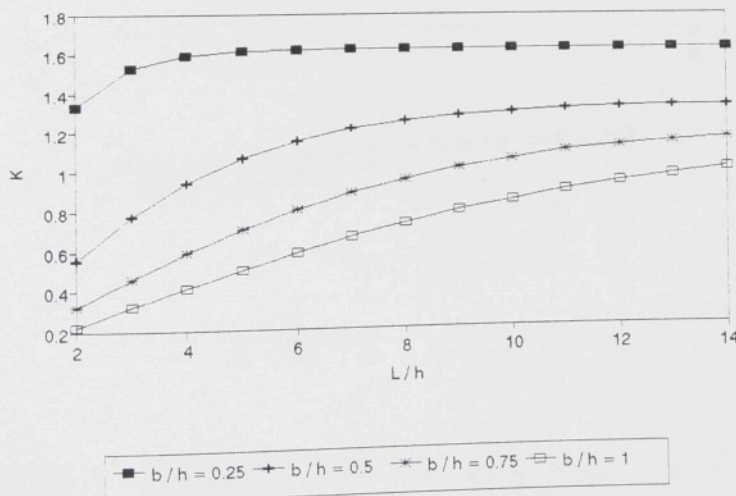
I profil



Obr. 36

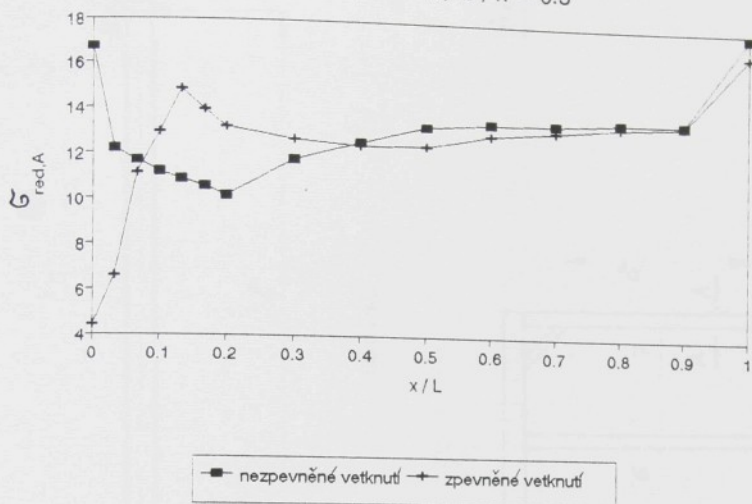
$$K = K(L)$$

I profil, zjednoduš.smíšená teorie



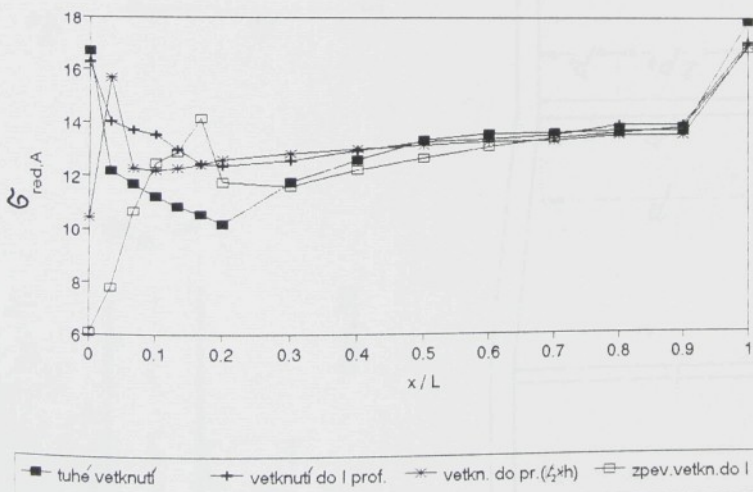
Obr. 37

Vliv zpevnění uložení  
I profil,  $L/h = 15$ ,  $b/h = 0.5$

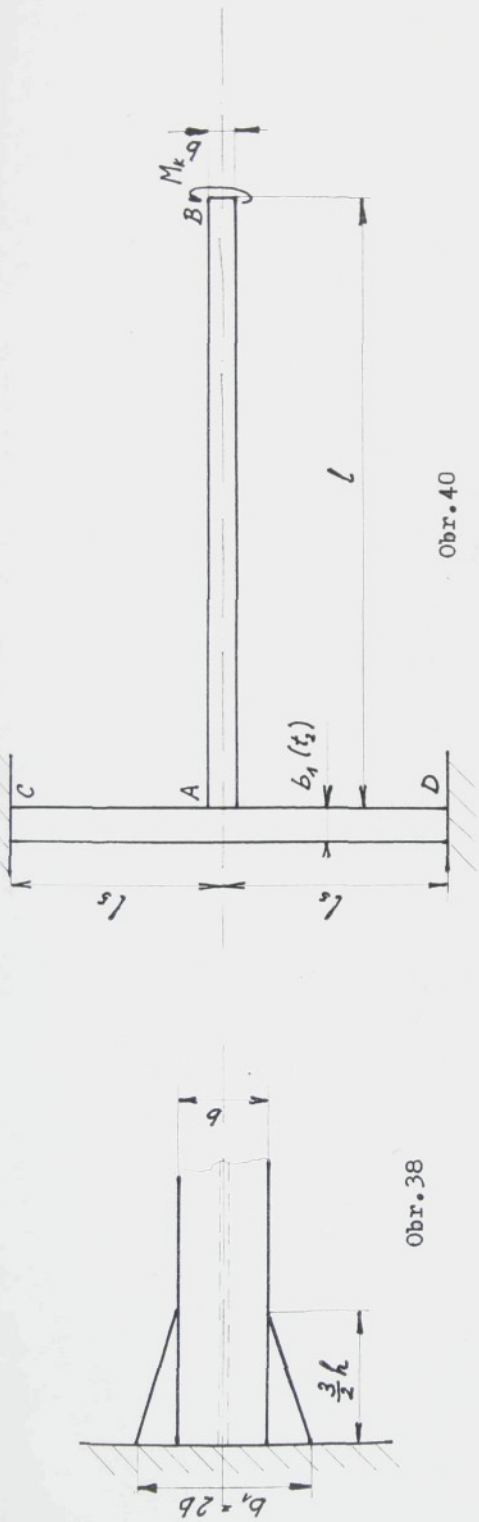


Obr. 39

Vliv nedokonalého vetknutí  
I profil,  $L/h = 15$ ,  $b/h = 0.5$

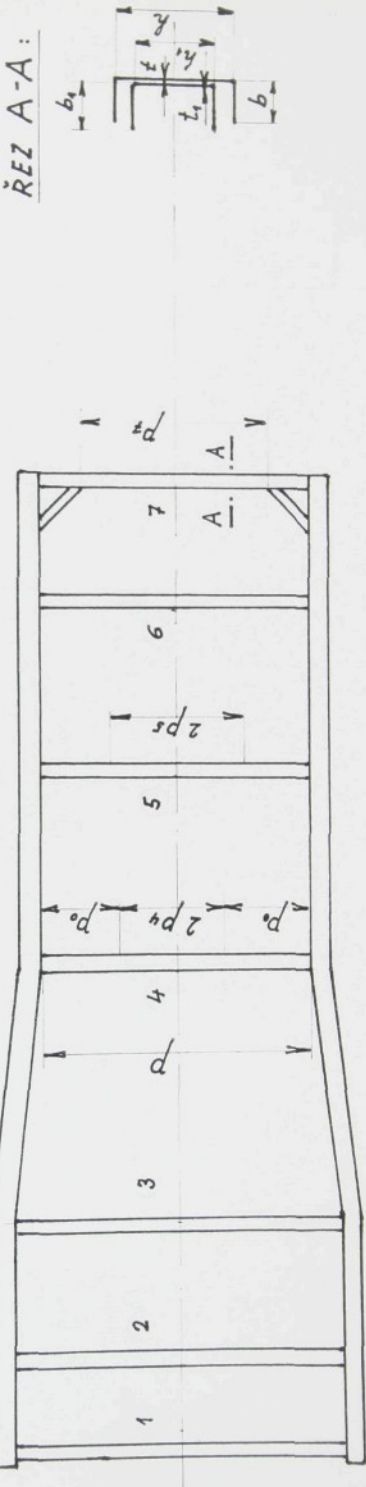


Obr. 41



Obr. 38

Obr. 40



Obr. 42